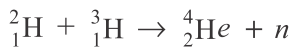


13.28 D-T प्रक्रिया (ज्युटेरियम-ट्रिटियम संलयन) વિચારો.



(a) નીચે આપેલ વિગતો પરથી વિમુક્ત થતી ઊર્જા MeVમાં ગણો.

$$m({}_1^2\text{H}) = 2.014102 \text{ u}$$

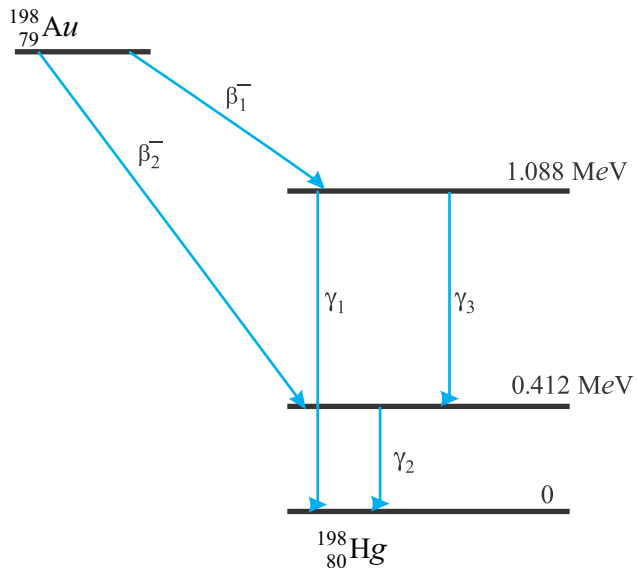
$$m({}_1^3\text{H}) = 3.016049 \text{ u}$$

(b) જ્યુટેરિયમ અને ટ્રિટિયમ બંનેની ત્રિજ્યા લગભગ  $2.0 \text{ fm}$  ધારો. આ બે ન્યુક્લિયસ વચ્ચેના કુલંબ અપાકર્ષણે ઓળંગી જવા (પાર કરવા) માટે કેટલી ગતિઊર્જા જરૂરી છે ? આ ક્રિયા પ્રારંભ કરાવવા માટે વાયુને કેટલા તાપમાન સુધી ગરમ કરવો પડે ? (સૂચના : એક વિખંડન ઘટના માટે જરૂરી ગતિઊર્જા = આંતરક્રિયા કરતા કણો પાસે હોય તેવી સરેરાશ ઉભીય ગતિઊર્જા =  $2(3 kT/2)$ ,  $k$  = બોલ્ટ્ઝમેનનો અચળાંક,  $T$  = નિરપેક્ષ તાપમાન)

13.29 આકૃતિ 13.6માં દર્શાવેલ ક્ષય પ્રક્રિયામાં  $\beta$ -કણોની મહત્તમ ગતિઊર્જા અને  $\gamma$ -ક્ષયની વિકિરણ આવૃત્તિઓ શોધો. તમને નીચેની વિગતો આપેલ છે.

$$m({}^{198}\text{Au}) = 197.968233 \text{ u}$$

$$m({}^{198}\text{Hg}) = 197.966760 \text{ u}$$



### આકૃતિ 13.6

13.30 (a) સૂર્યમાં ઊર્જા 1 kg હાઇડ્રોજનના સંલયનમાં અને

(b) વિખંડન રીએક્ટરમાં 1 kg  ${}^{235}_{92}\text{U}$  ના વિખંડનમાં - વિમુક્ત થતી (બહાર પડતી) ઊર્જા ગણો અને સરખાવો.

13.31 ધારોકે ઈ.સ. 2020 સુધીમાં ભારતનું લક્ષ્ય 2,00,000 MW વિદ્યુતપાવર ઉત્પન્ન કરવાનું છે અને તેમાંથી દસ ટકા ન્યુક્લિયર પાવર પ્લાન્ટમાંથી મેળવવાનું છે. ધારોકે આપણાને આપેલ છે કે સરેરાશપણે રીએક્ટરમાં ઉત્પન્ન થયેલી ઉભાઉર્જાના વપરાશની કાર્યક્રમતા (એટલે કે વિદ્યુતઊર્જામાં રૂપાંતર) 25 % છે. તો 2020 સુધીમાં દેશને વિખંડનિય યુરેનિયમના કેટલા જથ્થાની જરૂર પડે ?  ${}^{235}_{92}\text{U}$  ના દર વિખંડન દીઠ ઉભા ઊર્જા લગભગ 200 MeV લો.

### વધારાના સ્વાધ્યાય

- 11.20** (a) શૂન્યાવકાશિત નળીમાં તપાવેલા ઉત્સર્જક પરથી ઉત્સર્જયેલા અને ઉત્સર્જકની સાપેક્ષ 500 V સ્થિતિમાનના તફાવતે રહેલા કલેક્ટર પર આપાત થતા ઈલેક્ટ્રોનની ઝડપ શોધો. ઈલેક્ટ્રોનની પ્રારંભિક અખ્ય ઝડપ અવગણો. ઈલેક્ટ્રોનનો વિશેષ વિદ્યુતભાર એટલે કે તેના  $e/m$ નું મૂલ્ય  $1.76 \times 10^{11} \text{ C kg}^{-1}$  આપેલ છે.
- (b) (a)માં તમે ઉપયોગ કરેલા સમીકરણ પરથી 10 MV જેટલા કલેક્ટર સ્થિતિમાન માટે ઈલેક્ટ્રોનની ઝડપ શોધો. તમને શું ખોટું જણાય છે? આ સૂત્રમાં કયો સુધારો કરવો જોઈએ?
- 11.21** (a) એક સરખી ઊર્જા ધરાવતા  $5.20 \times 10^6 \text{ m s}^{-1}$  જેટલી ઈલેક્ટ્રોનની ઝડપ ધરાવતા ઈલેક્ટ્રોન બીમ (કિરણાવકી) પર વેગને લંબરૂપે  $1.30 \times 10^{-4} \text{ T}$  જેટલું ચુંબકીયક્ષેત્ર લગાડેલ છે. આ બીમ વડે આંતરેલા વર્તુળાકાર માર્ગની ત્રિજ્યા કેટલી હશે? ઈલેક્ટ્રોન માટે  $e/m$ નું મૂલ્ય  $1.76 \times 10^{11} \text{ C kg}^{-1}$  આપેલ છે.
- (b) શું (a)માં તમે ઉપયોગમાં લિધેલ સૂત્ર,  $20 \text{ MeV}$  ઈલેક્ટ્રોન બીમના માર્ગની ત્રિજ્યાની ગણતરીમાં ઉપયોગ કરી શકો? જો ના તો, તેમાં શું સુધારો કરવો જોઈએ?
- [નોંધ : સ્વાધ્યાય 11.20(b) અને 11.21(b) તમને સાપેક્ષવાઈય યંત્રશાસ્ત્ર તરફ દોરી જાય છે. જે આ પુસ્તકની મર્યાદા બાહાર છે. અહીંથી તેમનો ઉપયોગ કરવાનો આશય એ બાબત તરફ ધ્યાન દોરવાનો છે કે સ્વાધ્યાયના ભાગ (a)માં તમે જે સમીકરણોનો ઉપયોગ કરો છો તે ખૂબ ઊંચી ઝડપ અને ઊર્જાઓ માટે લાગુ પડતા નથી. ખૂબ ઊંચી ઝડપ અને ઊર્જા એટલે શું તે સમજવા માટે અંતમાં આપેલ ઉકેલ જુઓ.]
- 11.22** 100 V જેટલો કલેક્ટર વોલ્ટેજ ધરાવતી એક ઈલેક્ટ્રોન ગન, નીચા દબાંગે  $\sim 10^{-2} \text{ mm Hg}$  રહેલા હાઇડ્રોજન વાયુ ભરેલા ગોળાકાર બલ્બમાં ઈલેક્ટ્રોન છોડે છે.  $2.83 \times 10^{-4} \text{ T}$  જેટલું ચુંબકીયક્ષેત્ર ઈલેક્ટ્રોનના માર્ગને 12.0 cm ત્રિજ્યાની વર્તુળાકાર ક્ષામાં વાળે છે. (આ માર્ગ એટલા માટે જોઈ શકાય છે કે માર્ગમાં આવતા વાયુના આયનો ઈલેક્ટ્રોનને આકષેણી બીમને કેન્દ્રિત કરે છે, તથા ઈલેક્ટ્રોન પ્રાપ્ત (Capture) કરીને પ્રકાશનું ઉત્સર્જન કરે છે, આ રીતને ‘ફાઈન બીમ ટ્યૂબ’ પદ્ધતિ કહે છે) આપેલ માહિતી પરથી  $e/m$  શોધો.
- 11.23** (a) એક ક્ષ-કિરણની ટ્યૂબ સતત વર્ષાપટના વિકિરણો ઉત્સર્જિત કરે છે જેમની સૌથી ટૂંકી તરંગલંબાઈ  $0.45 \text{ Å}$  છે. આ વિકિરણમાં ફોટોનની મહત્તમ ઊર્જા કેટલી હશે?
- (b) તમારા (a)ના જવાબ માટે (ઈલેક્ટ્રોન) ટ્યૂબમાં પ્રવેગક વોલ્ટેજ કેટલા ક્રમનો હોવો જોઈએ?
- 11.24** ઈલેક્ટ્રોનની પોઝિટ્રોન સાથેની ઉચ્ચ ઊર્જા અથડામણો માટેના એક્સલેટર (પ્રવેગક) પ્રયોગમાં કોઈ ઘટાનાનું અથડાઘટન 10.2 BeVની કુલ ઊર્જાના ઈલેક્ટ્રોન-પોઝિટ્રોન જોડકાંના પૂર્ણ નાશ દ્વારા સમાન ઊર્જાના બે ગ-કિરણોના ઉત્સર્જન તરીકે થાય છે. દરેક ગ-કિરણ સાથે સંકળાયેલી તરંગ લંબાઈ કેટલી હશે? ( $1 \text{ BeV} = 10^9 \text{ eV}$ )
- 11.25** નીચેની બે સંખ્યાઓનો અંદાજ મેળવવો રસપ્રદ રહેશે. પહેલી સંખ્યા તમને એ કહેશે કે શા માટે રેઝિયો એન્જિનિયરોએ ફોટોન વિશે બહુ ચિંતા કરવી જરૂરી નથી! બીજી સંખ્યા એ કહેશે કે ભલેને માંડ પારખી શકાય તેવો પ્રકાશ હોય તો પણ શા માટે આપણી આંખ ક્યારેય ફોટોનની ગણતરી કરી શકતી નથી.
- (a) 500 m તરંગલંબાઈના રેઝિયો તરંગો ઉત્સર્જિત કરતા 10 kW પાવરના મિટિયમ વેવ ટ્રાન્સમિટરમાંથી એક સેકન્ડ દીઠ ઉત્સર્જાતા ફોટોનની સંખ્યા,
- (b) સફેદ પ્રકાશની ન્યૂનતમ તીવ્રતા જેનો મનુષ્યો અહેસાસ કરી શકે ( $\sim 10^{-10} \text{ W m}^{-2}$ ) તેને અનુરૂપ આપણી આંખની કીકીમાં દર સેકન્ડે દાખલ થતા ફોટોનની સંખ્યા, આંખની કીકીનું ક્ષેત્રફળ આશરે  $0.4 \text{ cm}^2$  લો અને સફેદ પ્રકાશની સરેરાશ આવતી આશરે  $6 \times 10^{14} \text{ Hz}$  લો.

- 11.26** 100 Wના મકર્યુરી બલ્બમાંથી નીકળતો  $2271\text{ \AA}$  તરંગલંબાઈનો અદ્વાવાયોવેટ પ્રકાશ મોલિબ્ડેનમ ધાતુમાંથી બનેલા ફોટોસેલને પ્રકાશિત કરે છે. જો સ્ટોપિંગ પોટેન્શિયલ  $-1.3\text{ V}$  હોય, તો ધાતુનું કાર્યવિધ્ય શોધો. આ ફોટોસેલ He-Ne લેસરમાંથી ઉત્સર્જયેલ  $6328\text{ \AA}$  ના ઊંચી તીવ્રતા ( $\sim 10^5\text{ W m}^{-2}$ ) ધરાવતા લાલ પ્રકાશ પ્રત્યે કેવો પ્રતિભાવ આપશે?
- 11.27** સિજિયમનું પ્રકાશ-સંવેદી દ્રવ્ય લગાડેલા ટંગસ્ટન, નિયોન બલ્બમાંથી આવતા  $640.2\text{ nm}$  ( $1\text{ nm} = 10^{-9}\text{ m}$ ) તરંગલંબાઈના એકરંગી પ્રકાશ વડે પ્રકાશિત થાય છે. સ્ટોપિંગ પોટેન્શિયલ  $0.54\text{ V}$  માપેલ છે. પ્રકાશના આ ઉદ્ગમની જગ્યાએ આયર્ન ઉદ્ગમ મુકવામાં આવે છે જેની  $427.2\text{ nm}$  (તરંગલંબાઈની) વર્ષાપટ રેખા આ ફોટોસેલને પ્રકાશિત કરે છે. નવું સ્ટોપિંગ પોટેન્શિયલ શોધો.
- 11.28** ફોટો ઈલેક્ટ્રોિક ઉત્સર્જનના આવૃત્તિ પરના અવલંબન (આધાર, Dependence) ના અભ્યાસ માટે મકર્યુરી લોખ્ય યોગ્ય ઉદ્ગમ છે, કારણ કે તે UVથી લઈને દશ્ય પ્રકાશના વર્ષાપટના લાલ છેડા સુધીની ઘણી બધી વર્ષાપટરેખાઓ આપે છે. રૂબિયમ ફોટોસેલ સાથેના આપણા પ્રયોગ દરમિયાન, મકર્યુરી ઉદ્ગમની નીચે આપેલ વર્ષાપટરેખાઓનો ઉપયોગ થયો હતો :
- $$\lambda_1 = 3650\text{ \AA}, \lambda_2 = 4047\text{ \AA}, \lambda_3 = 4358\text{ \AA}, \lambda_4 = 5461\text{ \AA}, \lambda_5 = 6907\text{ \AA}$$
- તેમને અનુલક્ષીને માપેલા સ્ટોપિંગ પોટેન્શિયલ અનુકૂળ આ મુજબ છે :
- $$V_{01} = 1.28\text{ V}, V_{02} = 0.95\text{ V}, V_{03} = 0.74\text{ V}, V_{04} = 0.16\text{ V}, V_{05} = 0\text{ V}$$
- ખાલીના અચળાંક  $h$  નું મૂલ્ય, આપેલ દ્રવ્ય માટે શ્રેષ્ઠોદ આવૃત્તિ અને કાર્યવિધ્ય શોધો.
- (નોંધ : તમે જોશો કે આપેલ માહિતી પરથી  $h$ ની ગણતરી કરવા માટે એની જરૂર પડશે (જે તમે  $1.6 \times 10^{-19}\text{ C}$  લઈ શકો). Na, Li, K વગેરે પર મિલિકને આવા પ્રયોગો કર્યા હતા જેમાં તેમણે (ઓઈલ ડ્રોપ પ્રયોગ-Oil Drop Experiment પરથી) મેળવેલ એના મૂલ્યનો ઉપયોગ કરીને આઈન્સ્ટાઇનના ફોટોઈલેક્ટ્રોિક સમીકરણની સત્યતા ચકાસી હતી અને તે સાથે  $9\text{ h}$ ના મૂલ્યનો સ્વતંત્ર અંદાજ આપ્યો હતો.)
- 11.29** નીચેની ધાતુઓનું કાર્યવિધ્ય આ મુજબ આપેલ છે :
- Na :  $2.75\text{ eV}$ , K :  $2.30\text{ eV}$ , Mo :  $4.17\text{ eV}$ , Ni :  $5.15\text{ eV}$ .
- આમાંથી કઈ ધાતુ ફોટોસેલથી  $1\text{ m}$  અંતરે મૂકેલા He-Cd લેસરમાંથી આવતા  $3300\text{ \AA}$  તરંગલંબાઈના વિકિરણ માટે ફોટો ઈલેક્ટ્રોિક ઉત્સર્જન નહીં આપે ? જો લેસરને પાસે લાવીને  $50\text{ cm}$  અંતરે મુકવામાં આવે તો શું થશે ?
- 11.30**  $10^{-5}\text{ W m}^{-2}$  તીવ્રતાનો પ્રકાશ,  $2\text{ cm}^2$  જેટલું સપાટીનું ક્ષેત્રકળ ધરાવતા સોડિયમ ફોટોસેલ પર પડે છે. સોડિયમના ઉપરના 5 સ્તરો આપાત પ્રકાશનું શોષણ કરે છે તેમ ધારીને વિકિરણની તરંગ પ્રકૃતિ મુજબ ફોટો ઈલેક્ટ્રોિક ઉત્સર્જન માટે કેટલો સમય લાગશે તે નક્કી કરો. ધાતુનું કાર્યવિધ્ય લગભગ  $2\text{ eV}$  જેટલું આપેલું છે. તમારો જવાબ શું સૂચયે છે ?
- 11.31** સ્ફિટિક દ્વારા વિવર્તનના પ્રયોગો, ક્ષ-કિરણો કે યોગ્ય વોલ્ટેજ દ્વારા પ્રવેગિત કરેલા ઈલેક્ટ્રોન વડે કરી શકાય છે. કયા શોધક (Probe) (કિરણ)ની ઊર્જા વધુ હશે ? (માત્રાત્મક સરખામણી માટે, શોધક/કિરણની તરંગલંબાઈ  $1\text{ \AA}$  લો, જે લેટિસના આંતર પરમાણિક અંતરોના કમની છે.)  

$$(m_e = 9.11 \times 10^{-31}\text{ kg})$$
- 11.32** (a) 150 eV ઊર્જાની ધરાવતા ન્યુટ્રોનની દિ બ્રોગલી તરંગલંબાઈ શોધો. સ્વાધ્યાય 11.31માં તમે જોયું તે મુજબ આ ઊર્જા ધરાવતું ઈલેક્ટ્રોન બીમ સ્ફિટિક દ્વારા વિવર્તનના પ્રયોગો માટે યોગ્ય છે. શું આટલી જ ઊર્જા ધરાવતું ન્યુટ્રોનનું બીમ એટલું જ યોગ્ય છે ? સમજાવો.  $(m_n = 1.675 \times 10^{-27}\text{ kg})$

- (b) ઓરડાના તાપમાને ( $27^{\circ}\text{C}$ ) રહેલા થર્મલ ન્યુટ્રોન સાથે સંકળાયેલી ડિ બ્રોગ્લી તરંગલંબાઈ શોધો. તે પરથી સમજાવો કે શા માટે ન્યુટ્રોન વિવર્તનના પ્રયોગો કરતાં પહેલાં ઝડપી ન્યુટ્રોન બીમને પર્યાવરણ જેવી જ ઉભીય સ્થિતિમાં લાવવું (Thermalise કરવું) જરૂરી છે.
- 11.33** એક ઈલેક્ટ્રોન માઈકોસ્કોપ  $50\text{ kV}$  વોલ્ટેજ વડે પ્રવેગિત થયેલ ઈલેક્ટ્રોનનો ઉપયોગ કરે છે. આ ઈલેક્ટ્રોન સાથે સંકળાયેલ ડિ બ્રોગ્લી તરંગલંબાઈ શોધો. જો બીજાં પરિબળો (જેવા કે, ન્યુમેરીકલ એપર્ચર, વગેરે) લગભગ એના એ જ લેવામાં આવે તો ઈલેક્ટ્રોન માઈકોસ્કોપની વિભેદન શક્તિ અને પીળા પ્રકાશનો ઉપયોગ કરતા ઓપ્ટીકલ માઈકોસ્કોપની વિભેદનશક્તિ વચ્ચે સરખામણી કરો.
- 11.34** કોઈપણ બંધારણની ઉંડાણપૂર્વક માહિતી મેળવવા માટે ઉપયોગી તરંગલંબાઈ તેના બંધારણના આશરે પરિમાણનું માપ દર્શાવે છે. પ્રોટોન અને ન્યુટ્રોનના કવાર્ક બંધારણમાં  $10^{-15}\text{ m}$  કે તેથી ઓછી લંબાઈના અતિસૂક્ષ્મ માપકમના અંતરે જણાય છે. આ બંધારણ વિશે પ્રથમ તપાસ 1970ના સમયગાળામાં, સ્ટેનફર્ડ, USAમાં રેખીય પ્રવેગક (Linear Accelerator) વડે ઉત્પન્ન કરેલા ઉચ્ચ ઊર્જાના ઈલેક્ટ્રોન બીમ વડે કરાઈ હતી. કલ્પના કરો કે આ માટે ઈલેક્ટ્રોન બીમની ઊર્જા કયા કમની હશે? (ઇલેક્ટ્રોનની સ્થિર દળ ઊર્જા =  $0.511\text{ MeV}$ )
- 11.35** ઓરડાના તાપમાને ( $27^{\circ}\text{C}$ ) અને  $1\text{ atm}$  દબાણે રહેલા હિલીયમ વાયુમાં હિલીયમ પરમાણુ સાથે સંકળાયેલી ડિ બ્રોગ્લી તરંગલંબાઈ શોધો, તથા તેને આ પરિસ્થિતિમાં બે પરમાણુઓ વચ્ચેના સરેરાશ અંતર સાથે સરખાવો.
- 11.36** કોઈ ધાતુમાં  $27^{\circ}\text{C}$  તાપમાને રહેલા ઈલેક્ટ્રોનની ડિ બ્રોગ્લી તરંગલંબાઈની ગણતરી કરો અને તેને ધાતુમાં રહેલા બે ઈલેક્ટ્રોન વચ્ચેના સરેરાશ અંતર સાથે સરખાવો જે લગભગ  $2 \times 10^{-10}\text{ m}$  જેટલું આપેલ છે.  
(નોંધ : સ્વાધ્યાયો 11.35 અને 11.36 દર્શાવે છે કે સામાન્ય પરિસ્થિતિઓમાં વાયુના અણુઓ સાથે સંકળાયેલા તરંગ પેકેટ સંપાત થતા નથી, જ્યારે ધાતુમાં ઈલેક્ટ્રોનના તરંગ પેકેટ એકબીજા પર પ્રબળ રીતે સંપાત થયેલા હોય છે. આ દર્શાવે છે કે, સામાન્ય વાયુમાં વાયુના અણુઓને એકબીજાથી અલગ પાડી શકાય છે, જ્યારે ધાતુમાં રહેલા ઈલેક્ટ્રોનને એકબીજાથી અલગ પાડી શકતા નથી. આ અભેદપણું ઘણા પાચાના અનુમાનો તરફ ઢોરી જાય છે જે તમે આગળ ઉપર ભૌતિકશાસ્ત્રના ઉચ્ચ અભ્યાસમાં જાણશો.
- 11.37** નીચે આપેલા પ્રશ્નોના જવાબ આપો :
- પ્રોટોન અને ન્યુટ્રોનમાં રહેલા કવાર્કસ અપૂર્ણાંક વિદ્યુતભારો  $[(+2/3)e; (-1/3)e]$  ધરાવતા હોવાનું માનવામાં આવે છે. આવું મિલિકનના પ્રયોગો દરમિયાન કેમ જોવામાં ન આવ્યું?
  - $e/m$  એ જોડાણમાં ખાસ નવું શું છે? શા માટે આપણે એકલા  $e$  કે  $m$  વિશે વાત કરતા નથી?
  - શા માટે સામાન્ય દબાણે વાયુઓ અવાહક અને ખૂબ ઓછા દબાણે વાહક બનવા લાગે છે?
  - દ્રેક ધાતુને એક ચોક્કસ કાર્યવિધેય હોય છે. જો આપાત પ્રકાશ એકરંગી હોય તો શા માટે બધા ફોટો ઈલેક્ટ્રોન સમાન ઊર્જા સાથે બહાર નીકળતા નથી? શા માટે ફોટો ઈલેક્ટ્રોન ઊર્જા વિતરણ ધરાવે છે?
  - ઇલેક્ટ્રોનની ઊર્જા અને વેગમાન, તેમની સાથે સંકળાયેલ દ્રવ્ય તરંગની આવૃત્તિ અને તરંગલંબાઈ સાથે આ સમીકરણો વડે સંકળાયેલા છે:  
$$E = h\nu, p = \frac{h}{\lambda}$$
 અહીં અનું ભૌતિક મહત્વ હોવા છતાં,  $\nu$ નાં મૂલ્ય (અને તેથી ફેઝ (કલા) ઝડપ,  $\lambda\nu$ )નું કોઈ ભૌતિક મહત્વ નથી. શા માટે?

## પરिशिष्ट (APPENDIX)

### 11.1 તરંગ-કણ દ્વિધા (ફ્લીપ-ફ્લોપ)નો ઇતિહાસ (The History of Wave-Particle Flip-Flop)

પ્રકાશ શું છે? આ સવાલ માનવજાત માટે લાંબા સમયથી અનુત્તર હતો. પરંતુ આશરે ચાર સદી પહેલાં વિજ્ઞાન અને ઓયોગિક યુગના પ્રારંભ સાથે વિજ્ઞાનોએ આયોજનબદ્ધ પ્રયોગો કર્યાં. આ જ અરસામાં, પ્રકાશ શેનો બનેલો છે તેના સૈદ્ધાંતિક ખાલો (મોડેલો)નો વિકાસ થતો ગયો. વિજ્ઞાનની કોઈ પણ શાખામાં મોડેલ બનાવવા માટે એ જરૂરી છે કે તે સમયગાળા દરમિયાન ઉપલબ્ધ બધાં પ્રાયોગિક અવલોકનોને તે સમજાવતું હોવું જોઈએ. આથી, સતરમી સદીમાં મળેલા કેટલાક અવલોકનોનો સારાંશ જાણવો યોગ્ય રહેશે.

એ સમયે પ્રકાશના જે ગુણધર્મો જાણીતા હતા તેમાં (a) પ્રકાશનું સીધી રેખામાં પ્રસરણ, (b) સમતલ અને વક્ત સપાટીઓ પરથી પરાવર્તન, (c) બે માધ્યમોની સીમા પાસે વકીભવન, (d) જુદા જુદા રંગમાં વિભાજન, (e) વધુ ઝડપનો સમાવેશ થાય છે. પ્રથમ ચાર ઘટનાઓ માટે યોગ્ય નિયમો ઘડવામાં આવ્યા હતા. ઉદાહરણ તરીકે, સ્નેલ દ્વારા 1621માં વકીભવન માટેનો નિયમ તારવવામાં આવ્યો હતો. ગોલિલિયોના સમયથી શરૂ કરીને કેટલાય વિજ્ઞાનીઓએ પ્રકાશની ઝડપ માપવા માટે પ્રયત્ન કર્યો હતો. પરંતુ તેઓ તેમ કરી શકતા ન હતા. એમણે ફક્ત એટલો જ નિર્જર્ખ કાઢ્યો કે તે (પ્રકાશનો વેગ) તેમની માપનની સીમાથી વધુ હતો.

સતરમી સદીમાં પ્રકાશના બે મોડેલ પણ આપવામાં આવ્યા હતા. સતરમી સદીના શરૂઆતના દશકાઓમાં ડેસ્કાર્ટેસ (Descartes) સૂચ્યવું હતું કે પ્રકાશ કણોનો બનેલો છે, જ્યારે હાઈગેન્સ (Huygens) આશરે 1650-60ની આસપાસ સૂચ્યવું કે પ્રકાશ તરંગોનો બનેલો છે. ડેસ્કાર્ટેસનું સૂચ્યન એ ફક્ત તત્ત્વજ્ઞાનનું મોડેલ હતું જે કોઈ પ્રયોગ કે વૈજ્ઞાનિક તર્ક ધરાવતું ન હતું. ત્યારબાદ તરત 1660-70 ના ગાળામાં ન્યૂટને ડેસ્કાર્ટેસના કણ સ્વરૂપ મોડેલને આગળ ધ્યાયું, જે કોર્પુસક્યુલર (Corpuscular Theory) સિદ્ધાંત તરીકે જાણીતું છે; તેને વૈજ્ઞાનિક સિદ્ધાંતોના આધારે વિકસાયું અને તેના આધારે કેટલાક જાણીતા ગુણધર્મો સમજાવ્યા. પ્રકાશના તરંગ કે કણ સ્વરૂપના આ મોડેલ્સ, એક અર્થમાં તો એકબીજાથી તદ્દન વિરુદ્ધ પ્રકારના છે. પરંતુ બને મોડેલ પ્રકાશના જાણીતા ગુણધર્મો સમજાવી શકતા હતા. બનેમાંથી કયું માનવું તે વિચારવું જરૂરી ન હતું.

ત્યાર પછીની સદીઓમાં આ મોડેલોના વિકાસનો ઇતિહાસ રસપ્રદ છે. 1669માં બાર્થોલીનસે (Bartholinus) કેટલાક સ્ફટિકો દ્વારા પ્રકાશના દ્વિ-વકીભવન (Double refraction) ની શોધ કરી, અને 1678માં હાઈગેન્સ (Huygens) એ ઝડપથી તેમના પ્રકાશનું તરંગ સ્વરૂપ દર્શાવતા સિધાંતના આધારે તેની સમજૂતી આપી. આમ છતાં, લગભગ સો વર્ષ સુધી, ન્યૂટનનું કણ સ્વરૂપ મોડેલ દફતા પૂર્વક માનવામાં આવતું હતું અને તરંગ મોડેલની સરખામણીમાં વધુ સ્વીકારાયું હતું. તેનું અશાંત: કારણ આ મોડેલની સરળતા અને અંશતઃ કારણ ન્યૂટનનું તે સમયના ભૌતિકવિજ્ઞાન પર પ્રભૂત્વ પણ હતું.

ત્યારબાદ 1801માં, યંગે બે-સ્લીટનો પ્રયોગ કર્યો અને વ્યતિકરણ શલાકાઓ મેળવી. આ ઘટના ફક્ત તરંગ સ્વરૂપ વડે સમજાવી શકાઈ હતી. તે પણ ધ્યાલમાં આવ્યું કે વિર્વત્તન પણ એવી ઘટના છે કે જે ફક્ત તરંગ સ્વરૂપ વડે જ સમજાવી શકાય છે. હકીકતમાં, તે પ્રકાશના માર્ગમાં દરેક બિંદુ પોતે પણ ગૌણ તરંગો ઉત્પન્ન કરે છે તેવા હાઈગેન્સના સિધાંતની કુદરતી ફલશ્રૂતિ રૂપે મળે છે. પ્રકાશને કણોનો બનેલો ધારીને આ પ્રયોગો સમજાવી શકતા નથી. 1810ની આસપાસ બીજી એક ઘટના પ્રુવીભવનની શોધાઈ અને તે પણ ફક્ત તરંગ સ્વરૂપ દ્વારા સમજાવી શકાઈ. આમ, હાઈગેન્સનો તરંગ સ્વરૂપનો સિદ્ધાંત આગળ વધ્યો જ્યારે ન્યૂટનનો કણ સ્વરૂપનો સિદ્ધાંત પાઇળ ધકેલાઈ ગયો. આ પરિસ્થિતિ લગભગ એક સદી સુધી રહી.

ઓગણીસમી સદીમાં પ્રકાશની ઝડપ શોધવા માટે વધુ સારા પ્રયોગો થયા. વધુ ચોક્કસાઈબર્યા પ્રયોગો દ્વારા શૂન્યાવકાશમાં પ્રકાશની ઝડપ માટે  $3 \times 10^8$  m/s મૂલ્ય મળ્યું. 1860ની આસપાસ મેક્સાવેલે વિદ્યુત ચુંબકત્વ માટેના સમીકરણો આપ્યા અને એમ જાણવા મળ્યું કે તે વખતે જાણીતી દરેક વિદ્યુતચુંબકીય ઘટનાને મેક્સાવેલના ચાર સમીકરણો વડે સમજાવી શકાય છે. ત્યારે જ મેક્સાવેલે દર્શાવ્યું કે વિદ્યુત અને ચુંબકીય ઘટનોનો બનેલો છે. 1887માં હાર્ટઝે આ તરંગોની ઉત્પત્તિ અને તેમને પરખવા (તેમનું આસ્તિત્વ જાણવા) નું નિર્દર્શન કર્યું. આનાથી પ્રકાશના તરંગ સ્વરૂપના સિદ્ધાંતનો પાયો મજબૂત બન્યો. આપણે કહી શકીએ કે જો અઠારમી સદી પ્રકાશના કણ સ્વરૂપના મોડેલની હતી.

1850-1900ના ગાળા દરમિયાન ઉભા અને તેને લગતી ઘટના કે જે ભૌતિકવિજ્ઞાનના તદ્દન અલગ ક્રેટો છે તેને સંબંધિત ઘણા પ્રયોગો થયા. (વાયુનો) ગતિવાદ અને થર્મોડાયનેમિક્સ જેવા સિદ્ધાંતો અને મોડેલો રજૂ થયા જેમણે, એક સિવાયની બીજી બધી ઘટનાઓ ખૂબ સફળતાપૂર્વક સમજાવી.

## પરિશાષ્ટ

કોઈ પણ તાપમાને ( $T \neq 0\text{ K}$ ) રહેલો દરેક પદાર્થ વિવિધ તરંગલંબાઈના વિકિરણોનું ઉત્સર્જન કરે છે. તે તેના પર આપાત થતા વિકિરણનું શોખણ પણ કરે છે. જે પદાર્થ તેના પર આપાત થતા બધા જ વિકિરણોનું શોખણ કરે તેને કાળો પદાર્થ કહેવાય. બિંદુવત દ્રવ્યમાન કે નિયમિત ગતિની જેમ આ પણ ભૌતિકવિજ્ઞાનનો એક આર્દ્ધ ઘ્યાલ છે. કાળા પદાર્થ વડે ઉત્સર્જયેલા વિકિરણની તીવ્રતા વિદુદ્ધ તરંગ લંબાઈનો આલોખ કાળા પદાર્થનો વર્ષાપટ (Black Body Spectrum) કહેવાય છે. એ હિવસો દરમિયાન કોઈ પણ પણ સિદ્ધાંત કાળા પદાર્થના સંપૂર્ણ વર્ષાપટને સમજાવી શક્યો ન હતો.

1900માં ખાન્ક ને એક નવો જ વિચાર સૂઝ્યો. તેમણે સૂચવ્યું કે જો આપણે વિકિરણનું ઉત્સર્જન, તરંગમાં જેમ સતત થાય છે, તેને બદલે શક્તિના અમુક જથ્થાઓના રૂપમાં થાય છે તેમ ધારી લઈએ તો કાળા પદાર્થના વર્ષાપટને સમજાવી શકીએ. ખાન્કે પોતે પણ આ કવોન્ટમને પ્રકાશના ગુણધર્મ તરીકે નહિ પણ ઉત્સર્જન કે શોખણના ગુણધર્મ તરીકે ગણ્યા હતા. તેમણે એક સૂત્ર તારવ્યું જે સમગ્ર વર્ષાપટ સાથે સહમત હતું. આ એક ગુંચવી નાખે તેવું તરંગ અને કણ સ્વરૂપનું મિશ્રણ હતું. જેમાં વિકિરણનું ઉત્સર્જન કણ સ્વરૂપે થાય છે, તે તરંગ તરીકે પ્રસરણ પામે છે અને પાછું કણ સ્વરૂપે શોખણ છે ! આ ઉપરાંત, આ સ્વરૂપે ભૌતિક વિજ્ઞાનીઓને પણ ગુંચવણ ભરી પરિસ્થિતિમાં મૂક્યા. શું આપણે એક જ ઘટનાને સમજાવવા ફરીથી પ્રકાશના કણ સ્વરૂપને સ્વીકારવું જોઈએ ? તો પછી વ્યતિકરણ અને વિવર્તનની ઘટનાઓનું શું, જે પ્રકાશના કણ સ્વરૂપ વડે સમજાવી શકતી નથી ?

પરંતુ ત્યાર બાદ તરત જ 1905માં, આઈન્સ્ટાઇને ફોટો ઈલેક્ટ્રોન અસરને પ્રકાશનું કણ સ્વરૂપ ધારીને સમજાવી. 1907માં ડીબાય (Debye) એ નીચા તાપમાને રહેલા ઘન પદાર્થની વિશિષ્ટ ઉભાને ઘન ફ્લીટીકમાં લેટાઇસ દોલનો (Lattice Vibrations)ના કણ સ્વરૂપ વડે સમજાવી. ભૌતિકવિજ્ઞાનના તદ્દન બિન્ન ક્રેત્રોમાં આવતી આ બંને ઘટનાઓ ફક્ત કણ સ્વરૂપ વડે સમજાવી શકાય છે, તથા તરંગ સ્વરૂપ વડે સમજાવી શકતી નથી. 1923માં, કોમટનના ક્ષ-કિરણોનું વિવર્તન દર્શાવતા પ્રયોગોની સમજૂતી પણ કણ સ્વરૂપ તરફ દોરી ગઈ. આમ ગુંચવાડો વધ્યતો ગયો.

આ રીતે 1923 સુધી ભૌતિક વિજ્ઞાનીઓએ નીચે મુજબની પરિસ્થિતિઓનો સામનો કરવો પડ્યો. (a) એવી કેટલીક ઘટનાઓ હતી, જેમકે રેખીય પ્રસરણ, પરાવર્તન, વકીભવન, જે કણ સ્વરૂપ કે તરંગ સ્વરૂપ વડે સમજાવી શકાય છે. (b) એવી કેટલીક ઘટનાઓ જેમકે વિવર્તન અને વ્યતિકરણ, જે ફક્ત તરંગ સ્વરૂપ વડે જ સમજાવી શકાય છે પરંતુ કણ સ્વરૂપ વડે નહીં. (c) એવી કેટલીક ઘટનાઓ પણ છે, જેમકે કાળા પદાર્થનું વિકિરણ, ફોટો ઈલેક્ટ્રોન અસર અને કોમટન પ્રકોઈણ જે ફક્ત કણ સ્વરૂપ વડે સમજાવી શકાય છે, જ્યારે તરંગ સ્વરૂપ વડે નહીં. તે સમય ગાળામાં કોઈ કે એવી યોગ્ય ટીપ્પણી પણ કરી હતી કે સોમવાર, બુધવાર અને શુક્રવારે પ્રકાશ કણ સ્વરૂપે વર્તે છે અને મંગળવાર, ગુરુવાર અને શનિવારે તે તરંગ સ્વરૂપે વર્તે છે, જ્યારે રવીવારે આપણે પ્રકાશ વિશે કોઈ વાત જ કરી શકતા નથી !

1924માં ડિ બ્રોગ્લીએ તરંગ-કણ દૈત્ય વિષેનો નવો સિદ્ધાંત આપ્યો, જેમાં તેમણે દર્શાવ્યું કે ફક્ત પ્રકાશન ફોટોન જ નહીં, પરંતુ દ્રવ્યના ‘કણો’ જેમ કે ઈલેક્ટ્રોન અને પરમાણુઓ પણ દૈત્ય પ્રકૃતિ ધારાવે છે, જે ક્યારેક કણ સ્વરૂપે અને ક્યારેક તરંગ સ્વરૂપે વર્તે છે. તેમણે તેમના દ્રવ્યમાન, વેગ, વેગમાન (કણ ગુણધર્મો) ને તેમની તરંગ લંબાઈ અને આવૃત્તિ (તરંગના ગુણધર્મો) સાથે સાંકળતું સમીકરણ પણ આપ્યું ! 1927માં થોમસન, અને ડેવિસન અને ગર્મરે, અલગ અલગ પ્રયોગો દરમ્યાન, દર્શાવ્યું કે ઈલેક્ટ્રોન તરંગ સ્વરૂપે વર્તતા હતા, જે ડિ બ્રોગ્લી દ્વારા દર્શાવવામાં આવેલી તરંગ લંબાઈનું સમર્થન કરતા હતા. તેમનો પ્રયોગ ઘન ફ્લીટીકો વડે ઈલેક્ટ્રોનના વિવર્તનનો હતો, જેમાં પરમાણુઓની સુવ્યવસ્થિત ગોઠવણી ટ્રેટીંગ તરીકે કામ કરે છે. ત્યાર બાદ તરત જ, બીજા ‘કણો’, જેમકે ન્યુટ્રોન અને પ્રોટોનના વિવર્તનના પ્રયોગો પણ થયા અને તે પણ ડિ બ્રોગ્લીના સમીકરણને સમર્થન આપતા હતા. આમ, તરંગ કણ દૈત્ય સ્વરૂપને ભૌતિકવિજ્ઞાનના સ્થાપિત સ્વરૂપ તરીકે માન્યતા મળી. આ એવો સિદ્ધાંત હતો, કે જે ભૌતિક વિજ્ઞાનીઓએ વિચાર્યું હતું તે મુજબ ફક્ત પ્રકાશ જ નહીં પરંતુ કણો માટે પણ દરેક ઘટનાઓને સમજાવી શકતો હતો.

પરંતુ હજુ સુધી તરંગ કણ દૈત્ય સ્વરૂપ માટે કોઈ સૈધ્યાંતિક આધાર નહોતો. ડિ બ્રોગ્લીએ આપેલ સિદ્ધાંત ફક્ત કુદરતમાં મળી આવતી સંમિતિ (Symmetry)ના આધારે કરેલો ગુણાત્મક તર્ક હતો. તરંગ-કણ દૈત્ય સ્વરૂપ વધુમાં વધુ એક સિદ્ધાંત હતો, પરંતુ તે કોઈ મજબૂત મૂળભૂત વાદની ફલશ્રુતિ ન હતો. એ સત્ય છે કે બધા જ પ્રયોગો ડિ બ્રોગ્લીના સમીકરણનું સમાધાન કરે છે. પરંતુ ભૌતિકવિજ્ઞાન તે રીતે ચાલતું નથી. એક તરફ પ્રાયોગિક અનુમોદન જોઈએ અને બીજી તરફ રજુ કરેલ મૌંડેલને સમજાવવા મજબૂત વાદ પણ જોઈએ. ત્યારબાદના બે દશકાઓમાં આ બાબતમાં પ્રગતિ થઈ. 1928માં ડિરાકે વિકિરણ વિશે એક સિદ્ધાંત આપ્યો અને 1930માં હાઈજનર્ગ અને પાઉલીએ તેને મજબૂત ટેકો પૂરો પાડ્યો. તોમોનાગા (Tomonaga), સ્વિંગર (Schwinger) અને ફીનમેને (Feynman) 1940ના અંત ભાગમાં બીજા સુધારા કર્યા અને સિદ્ધાંતમાં રહેલી કેટલીક અસંગતતાઓ દૂર કરી. આ બધા જ સિદ્ધાંતોએ તરંગ-કણ દૈત્ય સ્વરૂપને સૈધ્યાંતિક પાયો પુરો પાડ્યો.

જોકે આ વાત હજુ આગળ જાય છે, જે હજુ વધુ અધરી (સંકિર્ણ) બનતી જાય છે અને તે આ નોંધની મર્યાદા બદાર છે. પણ જે કંઈ બન્યું તેની જરૂરી નોંધ આપણે કરી અને હાલ આપણે તેનાથી સંતોષ માનીએ. હવે ભૌતિકવિજ્ઞાનના હાલના સિદ્ધાંતોના આધારે નૈસર્જિક રીતે એ સ્વીકારવામાં આવ્યું છે કે જુદા જુદા પ્રયોગોમાં વિદ્યુતચુંબકીય વિકિરણ તથા દ્રવ્યના કણો તરંગ અને કણ દૈત્ય સ્વરૂપના ગુણધર્મો દર્શાવે છે, અને ક્યારેક એક જ પ્રયોગ દરમિયાન જુદા જુદા વિભાગમાં તે દૈત્ય સ્વરૂપ દર્શાવે છે.

## પ્રકરણ બાર

# પરમાણુઓ (ATOMS)



### 12.1 પ્રસ્તાવના (INTRODUCTION)

ઓગાણીસમી સદી સુધીમાં દ્રવ્યના પરમાણુ અધિતત્ક (Hypothesis)ના પક્ષમાં ઘણા પુરાવા એકનિત કરાયેલા હતા. 1897માં વાયુમાંથી વિદ્યુતવિભાર (Electric Discharge) અંગે ઈંગ્લીશ ભौતિકવિજ્ઞાની જે. જે. થોમસન (1856-1940) દ્વારા કરાયેલા પ્રયોગો એ દર્શાવ્યું કે વિવિધ તત્વોના પરમાણુઓ ઋણ વિદ્યુતભારિત ઘટકો (ઇલેક્ટ્રોન) ધરાવે છે, જેઓ બધા પરમાણુઓ માટે એકસમાન (Identical) હોય છે. આમ છતાં સમગ્રપણે પરમાણુ વિદ્યુતીય રીતે તત્ત્વ છે. આથી, ઇલેક્ટ્રોનના ઋણ વિદ્યુતભારને તત્ત્વ કરવા માટે પરમાણુ અમુક ધન વિદ્યુતભાર પણ ધરાવતો હોવો જોઈએ. પરંતુ પરમાણુની અંદર ધન વિદ્યુતભાર અને ઇલેક્ટ્રોનની ગોઠવણ કેવી હશે? બીજા શબ્દોમાં પરમાણુનું બંધારણ કેવું હશે?

પરમાણુ અંગેનું સૌ પ્રથમ મોડેલ 1898માં જે. જે. થોમસન દ્વારા પ્રસ્તાવિત (Proposed) થયું હતું. આ મોડેલ અનુસાર, પરમાણુનો ધન વિદ્યુતભાર પરમાણુના સમગ્ર કદમાં નિયમિત રીતે (Uniformly) વિતરિત થયેલો છે અને ઋણ વિદ્યુતભારવાળાં ઇલેક્ટ્રોન, તડબૂચમાંના બીજની જેમ, તેમાં જડાયેલાં (જડકાયેલાં) (Embedded) હોય છે. આ મોડેલને પરમાણુનું ખમ પુરીંગ (Plum Pudding) મોડેલ કહેવાયું હતું. આમ છતાં, આ પ્રકરણમાં હવે આગળ દર્શાવાશે તે મુજબ, ત્યારબાદના પરમાણુના અભ્યાસોએ દર્શાવ્યું કે આ મોડેલમાં સૂચવેલ છે તે કરતાં ઇલેક્ટ્રોન અને ધન વિદ્યુતભારોનું વિતરણ ઘણું અલગ છે.

આપણે જાણીએ છીએ કે ઘણ દ્રવ્ય (ધન અને પ્રવાહી) અને ઘણ વાયુઓ, બધા તાપમાને વિદ્યુતચુંબકીય વિકિરણ ઉત્સર્જિત કરે છે, જેમાં ઘણી તરંગલંબાઈઓનું સતત વિતરણ હાજર હોય છે, જો કે તેમની તીવ્રતાઓ અલગ હોય છે. આ વિકિરણ પરમાણુઓના અને અણુઓના દોલનોને લીધે હોય છે અને તે દરેક પરમાણુ કે આણુની તેના પડોશીઓ સાથેની આંતરકિયા દ્વારા સંચાલિત થાય છે આના

## પરમાણુઓ

કરતાં તદ્દન વિડુદ્વ, ઓછી ઘનતાના વાયુને જ્યોતમાં ગરમ કરતાં અથવા જાણીતી નિયોન સાઈન અથવા મરક્યુરિ વેપર લાઈટની જેમ વિદ્યુતીય રીતે ઉત્સર્જિત કરતાં તેમાંથી ઉત્સર્જિત પ્રકાશમાં ફક્ત કેટલીક ચોક્કસ (Discrete) તરંગલંબાઈઓ જ હાજર હોય છે. આ વર્ષાપટ (Spectrum) પ્રકાશિત રેખાઓની શ્રેષ્ઠી રૂપે દેખાય છે. આવા વાયુઓમાં પરમાણુ વચ્ચેની જગ્યા (અવકાશ) વધારે હોય છે. આથી, ઉત્સર્જિત વિકિરણ, પરમાણુઓ કે અણુઓ વચ્ચેની આંતરકિયાને બદલે, વ્યક્તિગત પરમાણુઓને લીધે હોવાનું માનીશકાય છે.

ઓગાણીસમી સદીના પ્રારંભમાં એમ પણ પ્રસ્થાપિત થયું હતું કે દરેક તત્ત્વ સાથે વિકિરણનો લાક્ષણિક વર્ષાપટ સંકળાયેલ છે, દાખલા તરીકે, હાઈડ્રોજન હંમેશા એવી રેખાઓનો સમૂહ આપે છે કે જેમનાં સ્થાનો વચ્ચે વિવિધ નિશ્ચિત અંતર છે એટલે કે તેઓ અમુક નિશ્ચિત સ્થાનો પર છે. આ હંકિકતે એમ સૂચયું કે પરમાણુના આંતરિક બંધારણ અને તેના દ્વારા ઉત્સર્જિત વર્ષાપટ વચ્ચે ગાઢ સંબંધ છે. 1885માં જોહન જેકબ બામર (1825-1898) દ્વારા એક સરળ આનુભવિક/પ્રાયોગિક સૂત્ર મેળવવામાં આવ્યું જેણે પરમાણિક હાઈડ્રોજન વડે ઉત્સર્જિત રેખાઓના એક સમૂહની તરંગલંબાઈઓ આપી હતી. જાણીતાં તત્વોમાં હાઈડ્રોજન સૌથી સરળ હોવાથી આપણે આ પ્રકરણમાં તેના વર્ષાપટનો વિગતે વિચાર કરીશું.

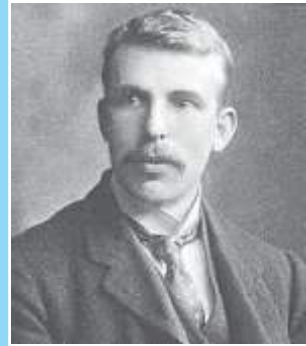
અર્નસ્ટ રધરફર્ડ (1871-1937), જે અગાઉ જે. જે. થોમસનનો સંશોધન વિદ્યાર્થી હતો તે કેટલાક રેઝિયો એક્ટિવ તત્વોમાંથી ઉત્સર્જિત થયેલા  $\alpha$ -કણો પરના પ્રયોગોમાં વસ્ત હતો. 1906માં તેણે પરમાણુના બંધારણની જાણકારી મેળવવા માટે પરમાણુઓ વડે આ  $\alpha$ -કણોના પ્રકીર્ણના ઉદ્દૃષ્ટ પ્રયોગનું સૂચન કર્યું. ત્યારબાદ 1911ની આસપાસ, હેન્સ ગેર્ડગર (1882-1945) અને અર્નસ્ટ માર્સ્ટન (1889-1970) જે માત્ર 20 વર્ષની ઉભરનો વિદ્યાર્થી હતો અને હજુ તેણે સ્નાતક (Bachelor)ની પદવી પ્રાપ્ત કરી ન હતી, તેમણે આ પ્રયોગ કર્યો. આ પ્રયોગની વિગતવાર ચર્ચા પરિસ્થિત 12.2માં કરેલ છે. પરિણામોની સમજૂતીએ રધરફર્ડના પરમાણુ માટે ગ્રહે જેવા મોંટેલ (જેને પરમાણુનું ન્યુક્લિયર મોંટેલ પણ કહે છે)ને જન્મ આપ્યો. આ મોંટેલ મુજબ પરમાણુનો સમગ્ર ધન વિદ્યુતભાર અને લગભગ બધું દળ ન્યુક્લિયસ તરીકે ઓળખાતા નાના કદ (વિસ્તાર)માં સંકેન્દ્રિત થયેલું છે અને સૂર્યની આસપાસ ગ્રહોના પરિભ્રમણની જેમ ઈલેક્ટ્રોન આ ન્યુક્લિયસની આસપાસ બ્રમણ કરે છે.

રધરફર્ડનું ન્યુક્લિયર મોંટેલ, આપણે આજે પરમાણુને જે રીતે જોઈએ છીએ તે તરફનું એક મોટું કદમ હતું. આમ છતાં તે, પરમાણુઓ અમુક નિશ્ચિત તરંગલંબાઈનો જ પ્રકાશ કેમ ઉત્સર્જિત કરે છે તે સમજાવી શક્યું નહિ. હાઈડ્રોજન જેવો એકદમ સરળ પરમાણુ જે એક જ ઈલેક્ટ્રોન અને એક જ પ્રોટોનનો બનેલો છે તે, નિશ્ચિત તરંગલંબાઈઓનો જ ટિલ વર્ષાપટ કેવી રીતે આપે છે? પરમાણુના પ્રયાલિત (Classical) ચિત્રમાં, સૂર્યની આસપાસ ગ્રહો બ્રમણ કરે છે તેની જેમ જ ઈલેક્ટ્રોન ન્યુક્લિયસની આસપાસ બ્રમણ કરે છે.

આમ છતાં, આપણે જોઈશું કે આવા મોંટેલને સ્વીકારવામાં કેટલીક ગંભીર મુશ્કેલીઓ છે.

### 12.2 આલ્ફા-કણ પ્રકીર્ણન અને પરમાણુ અંગેનું રધરફર્ડનું ન્યુક્લિયર મોંટેલ (ALPHA-PARTICLE SCATTERING AND RUTHERFORD'S NUCLEAR MODEL OF ATOM)

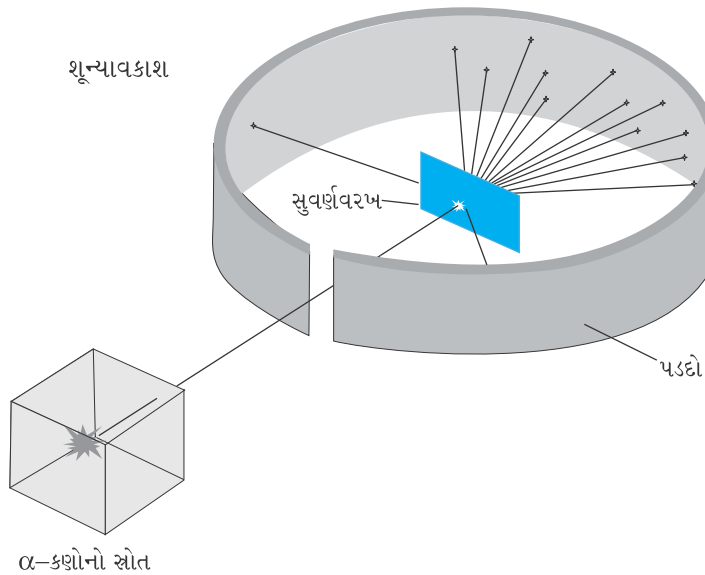
અર્નસ્ટ રધરફર્ડના સૂચનથી, 1911માં, એચ. ગેર્ડગર અને ઈ. માર્સ્ટન-એ કેટલાક પ્રયોગો કર્યા.



#### અર્નસ્ટ રધરફર્ડ (1871-1937)

બ્રિટીશ બૌતિકવિજ્ઞાની જેણે રેઝિયો એક્ટિવ વિકિરણ અંગે પાયારૂપ કાર્ય કર્યું. તેણે આલ્ફા-કિરણો અને બીટા-કિરણોની શોધ કરી. કેડરીક સોડીની સાથે તેણે રેઝિયોએક્ટિવીટીનો અર્વાચીન વાદ રચ્યો. તેણે થોરિયમની ઉત્પત્તિનો અભ્યાસ કર્યો અને નવો નિષ્ઠિય વાયુ, રેડેનનો સમસ્થાનિક શોધ્યો જે અત્યારે થોરોન તરીકે ઓળખાય છે. ધાતુના દ્વારા આલ્ફા કિરણોના પ્રકીર્ણન પરથી તેણે પરમાણુ ન્યુક્લિયસની શોધ કરી અને પરમાણુનું ગ્રહો જેવું મોંટેલ રજૂ કર્યું. તેણે પરમાણુના પરિમાણનો લગભગ અંદાજ પણ મેળવ્યો.

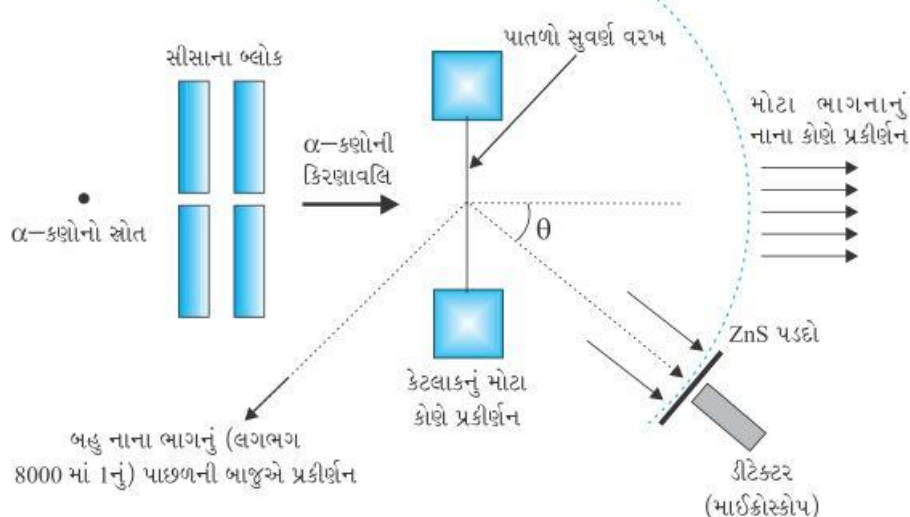
## ભौतिकવिज्ञान



**આકृતि 12.1** ગેરીગર-માર્સ્ટનનો પ્રક્રિયાનો પ્રયોગ. સમગ્ર ઉપકરણને શૂન્યાવકાશ ધરાવતી ચેમ્બરમાં મૂકવામાં આવે છે.

(તેને આ આકृતિમાં બતાવેલ નથી.)

તેમના એક પ્રયોગમાં આકृતિ 12.1માં દર્શાવ્યા મુજબ રેડિયોએક્ટિવ સોત  $^{214}_{83}\text{Bi}$  માંથી ઉત્સર્જિત થતા 5.5 MeV  $\alpha$ -કણોની કિરણાવલિને સુવર્ણ (Gold)ના પાતળા વરખ (Foil) પર આપાત કરી. આકृતિ 12.2 આ પ્રયોગની રેખાકૃતિ દર્શાવે છે. રેડિયોએક્ટિવ સોત  $^{214}_{83}\text{Bi}$  માંથી ઉત્સર્જિત થયેલાં  $\alpha$ -કણોને સીસાના બ્લોક વચ્ચેથી પસાર કરીને પાતળી કિરણાવલિ મેળવવામાં આવે છે. આ કિરણાવલિને  $2.1 \times 10^{-7} \text{ m}$  જાડાઈના પાતળા સુવર્ણના વરખ પર આપાત કરવામાં આવે છે. પ્રકેરિત થયેલાં આલ્ફા કણોનું ધૂમાવી શકાય તેવા ઝીક્સ સલ્ફાઈડ પડદા અને માઈક્રોસ્કોપના બનેલા ડિટેક્ટરમાંથી અવલોકન કરવામાં આવે છે. પ્રકેરિત આલ્ફા કણો પડદા પર અથડાય ત્યારે ક્ષણિક પ્રકાશનો જબકારો એટલે કે Scintillation ઉત્પન્ન કરે છે. આ જબકારાને માઈક્રોસ્કીપમાંથી જોઈ શકાય છે અને પ્રકેરિત કણોની સંખ્યાના વિતરણનો પ્રક્રિયાન કોડાના વિધેય તરીકે અભ્યાસ કરી શકાય છે.



**આકृતિ 12.2** ગેરીગર માર્સ્ટનના પ્રયોગની ગોઠવણાની રેખાકૃતિ

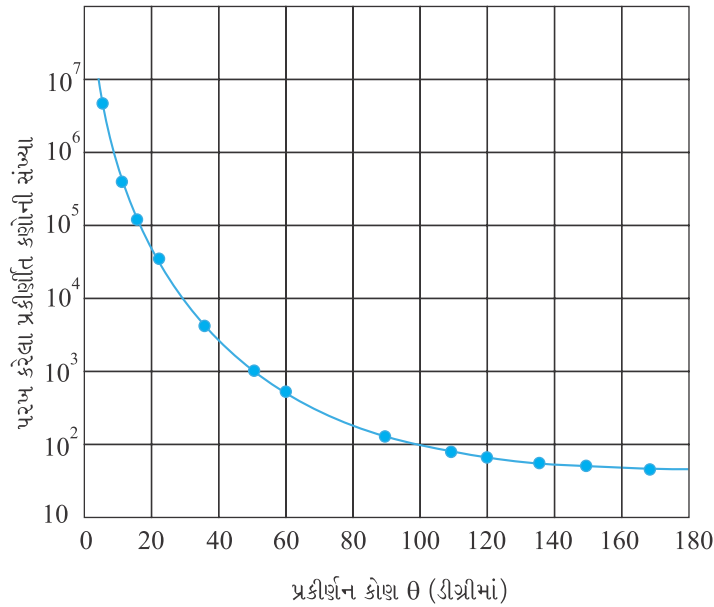
જુદા જુદા કોણો આપેલા સમયગાળામાં પ્રકેરિત થયેલાં  $\alpha$ -કણોની કુલ સંખ્યાનો એક લાક્ષણિક આલેખ આકृતિ 12.3માં દર્શાવેલ છે. આકृતિમાં ટ્પકાંઓ પ્રયોગથી મળેલ મૂલ્યો દર્શાવે છે અને સંંગ વક એ લક્ષ્ય પરમાણુને સૂક્ષ્મ, ઘણ, ઘન વિદ્યુતભારિત ન્યુક્લિયસ છે તેવી પૂર્વધારણા પર આધારિત સૈદ્ધાંતિક પૂર્વાનુમાન દર્શાવે છે. ઘણાં  $\alpha$ -કણો વરખમાં થઈને પસાર થઈ જાય છે. તેનો અર્થ એ કે તેઓ કોઈ સંધાત અનુભવતા નથી. ફક્ત લગભગ 0.14 %  $\alpha$ -કણોનું  $1^\circ$  કરતાં વધુ થાય છે. રખરફર્ડ એવી દલીલ કરી કે આમ  $\alpha$ -કણનું પાછળની તરફ વિચલન થવા માટે તે મોટું અપાકર્ષણ બળ અનુભવતો હોવો જોઈએ. જો પરમાણુના

## પરમાણુઓ

દળનો મોટો ભાગ અને તેનો ધન વિદ્યુતભાર તેના કેન્દ્ર પર ખીચોખીય (Tightly - ચુસ્તપણો) કેન્દ્રિત થયેલો હોય તો આવું બળ લાગી શકે. આમ હોય તો આપાત થતો  $\alpha$ -કણ ધન વિદ્યુતભારને બેદ્યા વિના ખૂબ નજીક પહોંચી શકે અને આવો નજીકનો ગાડ સંઘાત મોટા વિચલનમાં પરિણમી શકે. આ દલીલ ન્યુક્લિયર પરમાણુના અધિતર્કનું સમર્થન કરે છે. આ કારણથી ન્યુક્લિયસની શોષનું બહુમાન રધરફર્ડને આપવામાં આવે છે.

રધરફર્ડના પરમાણુ અંગેના ન્યુક્લિયર મોંડેલમાં પરમાણુનો સમગ્ર ધન વિદ્યુતભાર અને લગભગ બધું દળ ન્યુક્લિયસમાં કેન્દ્રિત થયેલું છે અને ઈલેક્ટ્રોન ન્યુક્લિયસથી થોડા અંતરે હૂર છે. જેમ ગ્રહો સૂર્યની આસપાસ બ્રમણ કરે છે તેમ ઈલેક્ટ્રોન ન્યુક્લિયસની આસપાસ કષામાં બ્રમણ કરતા હશે. રધરફર્ડના પ્રયોગો ન્યુક્લિયસનું પરિમાણ  $10^{-15} \text{ m}$  થી  $10^{-14} \text{ m}$ નું હોવાનું સૂચયું હતું. ગતિવાદ પરથી પરમાણુનું પરિમાણ  $10^{-10} \text{ m}$  હોવાનું જાણીતું હતું જે ન્યુક્લિયસના પરિમાણથી  $10,000$  થી  $1,00,000$  ગણું મોટું છે (જુઓ ધોરણ XI, ભૌતિકવિજ્ઞાનનું પાઠ્યપુસ્તક પ્રકરણ-11, પરિચ્છેદ 11.6). આમ પરમાણુનો મોટો ભાગ ખાલી અવકાશ (જગ્યા) છે. પરમાણુ મહદું અંશે ખાલી જગ્યા ધરાવતો હોવાથી મોટા ભાગના  $\alpha$ -કણો પાતળી ધાતુની વરખમાંથી કેમ આરપાર જતા રહે છે તે સહેલાઈથી સમજ શકાય છે. આમ છતાં જ્યારે  $\alpha$ -કણ ન્યુક્લિયસની નજીક આવે છે ત્યારે ત્યાંનું તીવ્ર વિદ્યુતક્ષેત્ર તેનું મોટા કોણો પ્રક્રિયાન કરે છે. પરમાણુના ઈલેક્ટ્રોન ઘણા હલકા હોવાથી  $\alpha$ -કણો પર ખાસ અસર કરતા નથી.

આફ્ટિ 12.3માં દર્શાવેલ પ્રક્રિયાન પ્રયોગની વિગતોનું વિશ્લેષણ રધરફર્ડના પરમાણુ અંગેના ન્યુક્લિયર મોંડેલની મદદથી કરી શકાય છે. સુવર્ણ વરખ અત્યંત પાતળો હોવાથી આપણો એવું ધારી શકીએ કે તેમાંથી પસાર થવા દરમિયાન  $\alpha$ -કણો એક કરતાં વધુ પ્રક્રિયાન અનુભવતા નહિ હોય. આથી, એક  $4$  ન્યુક્લિયસ વડે થતા  $\alpha$ -કણના પ્રક્રિયાના ગતિપથ (Trajectory)ની ગણતરી પૂરતી છે. આફ્કા-કણો હિલિયમ પરમાણુઓનાં ન્યુક્લિયસ છે તેથી તેમને બે એકમ ધન વિદ્યુતભાર,  $2e$  છે અને દળ હિલિયમ પરમાણુ જેટલું છે. સુવર્ણના ન્યુક્લિયસનો વિદ્યુતભાર  $Ze$  છે જ્યાં  $Z$  પરમાણુનો પરમાણુ કમાંક છે, સુવર્ણ (ગોલ્ડ) માટે  $Z = 79$  છે. સુવર્ણનું ન્યુક્લિયસ  $\alpha$ -કણ કરતાં લગભગ  $50$  ગણું ભારે હોવાથી, સમગ્ર પ્રક્રિયાન પ્રક્રિયામાં તે સ્થિર રહે છે તેમ માનવું બ્યાજબી છે. આ સંજોગોમાં ન્યૂટનના બીજા નિયમના ઉપયોગ તથા  $\alpha$ -કણ અને ધન વિદ્યુતભારિત ન્યુક્લિયસ વચ્ચેના અપાર્કિંગના સ્થિતવિદ્યુત બળ માટેના કુલંબના નિયમના ઉપયોગથી  $\alpha$ -કણના ગતિપથની ગણતરી કરી શકાય છે. આ બળનું માન



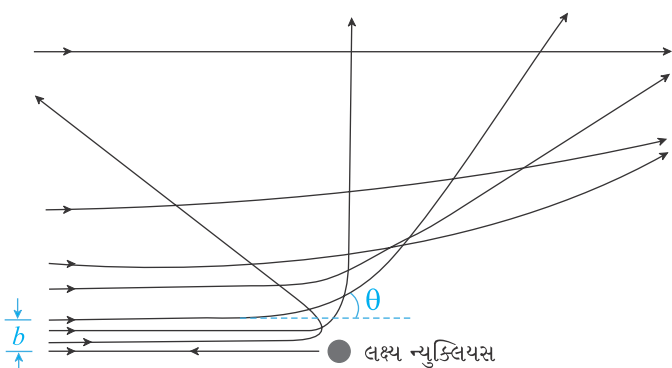
આફ્ટિ 12.3 આફ્ટિ 12.1 અને 12.2માં દર્શાવેલ ગોઠવણનો ઉપયોગ કરીને ગેરીગર અને માર્સ્ટને મેળવેલ પાતળા વરખ દ્વારા વિવિધ કોણો થતા  $\alpha$ -કણોના પ્રક્રિયાનના પ્રાયોગિક મૂલ્યો (ટપકા વડે દર્શાવેલ છે). રધરફર્ડનું ન્યુક્લિયર મોંડેલ સંગંગ વકનું અનુમાન કરે છે જે પ્રયોગ સાથે સારી રીતે મળતું આવે છે.

$$F = \frac{1}{4\pi\epsilon_0} \frac{(2e)(Ze)}{r^2} \quad (12.1)$$

છે, જ્યાં,  $r$  એ અ-કણ અને ન્યુક્લિયસ વચ્ચેનું અંતર છે. આ બળની દિશા અ-કણ અને ન્યુક્લિયસને જોડતી રેખા પર છે. અ-કણ ન્યુક્લિયસ તરફ જાય અને પછી તેનાથી દૂર જાય તે દરમિયાન તેના પર લાગતા બળનું માન અને દિશા સતત બદલતી રહે છે.

### 12.2.1 આલ્ફા-કણનો ગતિપથ (Alpha-Particle Trajectory)

અ-કણનો ગતિપથ ન્યુક્લિયસ સાથેની અથડામણના સંધાત પ્રાચલ (Impact Parameter)  $b$  પર આધાર રાખે છે. સંધાત પ્રાચલ એ અ-કણના પ્રારંભિક વેગ સહિત અને ન્યુક્લિયસના કેન્દ્ર વચ્ચેનું અંતર છે (આકૃતિ 12.4). અ-કણોની આપેલ કિરણાવલિમાં સંધાત પ્રાચલ  $b$  જુદા જુદા (એટલે કે સંધાત પ્રાચલનું વિતરણ) હોય છે. આથી, કિરણાવલિ જુદી જુદી સંભાવનાઓથી જુદી જુદી દિશાઓમાં પ્રક્રિયાન પામે છે (આકૃતિ 12.4). (કિરણાવલિમાં બધાં કણોની ગતિઓ લગભગ સમાન હોય છે.) એમ જજાયું છે કે જે અ-કણ ન્યુક્લિયસની નજીક (નાનો સંધાત પ્રાચલ) હોય તે મોઢું પ્રક્રિયાન અનુભવે છે. સન્મુખ (Head-on) સંધાતના કિરણામાં સંધાત પ્રાચલ લઘુતમ હોય છે અને અ-કણ પાછો ફેંકાય છે (Rebounds Back) ( $\theta \approx \pi$ ). મોટા સંધાત પ્રાચલ માટે અ-કણ લગભગ વિચલન પાયા વિના જતો રહે છે અને આવર્તન ઘણું નાનું ( $\theta \approx 0$ ) હોય છે.



આકૃતિ 12.4 લક્ષ્ય ન્યુક્લિયસના કુલંબ ક્ષેત્રમાં અ-કણનો ગતિપથ. સંધાત પ્રાચલ  $b$  અને પ્રક્રિયાન કોણ  $\theta$  પણ દર્શાવ્યા છે.

ફેંકાય (Rebound) છે, એ હકીકિત એમ દર્શાવે છે કે સન્મુખ (Head-on) સંધાત અનુભવતા અ-કણોની સંખ્યા નાની છે. આનો અર્થ એ છે કે પરમાણુનું દળ નાના કદમાં કેન્દ્રિત થયેલું છે. આથી રધરફર્ડના પ્રક્રિયાન પ્રયોગ, એ ન્યુક્લિયસના પરિમાળની ઉચ્ચ સીમા નક્કી કરવા માટે એક શક્તિશાળી રીત છે.

ઉદાહરણ 12.1 જેમ પૃથ્વી સૂર્યની આસપાસ કક્ષામાં ભ્રમણ કરે છે તેમ પરમાણુ અંગેના રધરફર્ડના ન્યુક્લિયર મોડેલમાં ન્યુક્લિયસ (ત્રિજ્યા લગભગ  $10^{-15}$  m) સૂર્યના જેવો છે જેની આસપાસ ઈલેક્ટ્રોન કક્ષામાં (ત્રિજ્યા  $10^{-10}$  m) ભ્રમણ કરે છે. જો સૂર્યમંડળના પરિમાળના પ્રમાણ પરમાણુના જેવા હોય તો પૃથ્વીની સૂર્યથી અત્યારે છે તે કરતાં વધારે નજીક કે દૂર હોત ? પૃથ્વીની કક્ષાની ત્રિજ્યા  $1.5 \times 10^{11}$  m છે. સૂર્યની ત્રિજ્યા  $7 \times 10^8$  m લેવાય છે.

#### ઉકેલ

ઈલેક્ટ્રોનની કક્ષાની ત્રિજ્યા અને ન્યુક્લિયસની ત્રિજ્યાનો ગુણોત્તર ( $10^{-10}$  m) / ( $10^{-15}$  m) =  $10^5$  છે, એટલે કે ઈલેક્ટ્રોનની કક્ષાની ત્રિજ્યા ન્યુક્લિયસની ત્રિજ્યા કરતાં  $10^5$  ગણી મોટી છે. જો પૃથ્વીની કક્ષાની ત્રિજ્યા સૂર્યની ત્રિજ્યા કરતાં  $10^5$  ગણી મોટી હોત તો પૃથ્વીની કક્ષાની ત્રિજ્યા  $10^5 \times 7 \times 10^8$  m =  $7 \times 10^{13}$  m હોત. આ મૂલ્ય પૃથ્વીની વાસ્તવિક કક્ષીય ત્રિજ્યા કરતાં 100 ગણાથી પણ વધારે છે. આમ, પૃથ્વી સૂર્યથી ઘણી વધારે દૂર હોત. આનો અર્થ એ છે કે આપણા સૂર્યમંડળમાં છે તે કરતાં પરમાણુ ખાલી અવકાશનો ઘણો વધુ અંશ ધરાવે છે.

ઉદાહરણ 12.2 ગેર્ફાર-માર્ટ્ઝના પ્રયોગમાં 7.7 MeV  $\alpha$ -કણ ક્ષણિક સ્થિર બનીને તેની દિશા ઉલટાવે તે અગાઉ ન્યુક્લિયસથી તેનું નજીકતમ અંતર (Distance of Closest Approach) કેટલું હશે ?

ઉકેલ અને ચાવીરૂપ ખ્યાલ એ છે કે, પ્રક્રીંણની સમગ્ર પ્રક્રિયા દરમિયાન  $\alpha$ -કણ અને સુવર્ણના ન્યુક્લિયસથી બનેલા તંત્રની કુલ યાંત્રિક ઊર્જા સંરક્ષિત (અથળ) રહે છે. કણ અને ન્યુક્લિયસ આંતરક્રિયા કરે તે અગાઉ તંત્રની પ્રારંભિક યાંત્રિક ઊર્જા  $E_i$ , છે અને જ્યારે  $\alpha$ -કણ ક્ષણિક સ્થિર થાય તારે તંત્રની યાંત્રિક ઊર્જા  $E_f$  છે. પ્રારંભિક ઊર્જા  $E_i$  તો આપાત કણની માત્ર ગતિઊર્જા  $K$  છે. અંતિમ ઊર્જા તંત્રની ફક્ત વિદ્યુત સ્થિતિઊર્જા  $U$  છે. સ્થિતિઊર્જા  $U$  સમીકરણ (12.1) પરથી ગણો શકાય છે.

જ્યારે  $\alpha$ -કણ તેના થોભક (અટકવાના) બિંદુએ પહોંચે તારે  $\alpha$ -કણના અને સુવર્ણના ન્યુક્લિયસના કેન્દ્રો વચ્ચેનું અંતર, ધારેકે  $d$  છે.

$$\text{આપણે ઊર્જાનું સંરક્ષણ } E_i = E_f \text{ ને}$$

$$K = \frac{1}{4\pi\epsilon_0} \frac{(2e)(Ze)}{d} = \frac{2Ze^2}{4\pi\epsilon_0 d}$$

તરીકે લખી શકીએ છીએ. આમ  $\alpha$ -કણનું સુવર્ણના ન્યુક્લિયસથી નજીકતમ અંતર

$$d = \frac{2Ze^2}{4\pi\epsilon_0 K}$$

જેટલું છે. નૈસર્જિક ઉદ્ગમ ધરાવતાં  $\alpha$ -કણોની મહત્તમ ગતિઊર્જા 7.7 MeV અથવા  $1.2 \times 10^{-12} \text{ J}$  છે. આથી  $1/4\pi\epsilon_0 = 9 \times 10^9 \text{ N m}^2/\text{C}^2$  અને  $e = 1.6 \times 10^{-19} \text{ C}$  મૂલ્યોનો ઉપયોગ કરતાં,

$$d = \frac{(2)(9.0 \times 10^9 \text{ N m}^2 / \text{C}^2)(1.6 \times 10^{-19} \text{ C})^2(Z)}{1.2 \times 10^{-12} \text{ J}}$$

$$= 3.84 \times 10^{-16} (Z) \text{ m}$$

વરખના દ્વય (સુવર્ણ)નો પરમાણુ ક્રમાંક  $Z = 79$  છે, તેથી  $d(Au) = 3.0 \times 10^{-14} \text{ m} = 30 \text{ fm} [1 \text{ fm} (\text{એટલે કે ફર્ભી}) = 10^{-15} \text{ m}]$

આથી સુવર્ણ (ગોલ્ડ)ના ન્યુક્લિયસની ત્રિજ્યા  $3.0 \times 10^{-14} \text{ m}$  કરતાં ઓછી છે. આ મૂલ્ય અવલોકિત પરિણામ સાથે સારી સંમતિ દર્શાવતું નથી, કારણ કે સુવર્ણના ન્યુક્લિયસની વાસ્તવિક ત્રિજ્યા  $6 \text{ fm}$  છે. આ તુટિનું કારણ એ છે કે ન્યુક્લિયસથી નજીકતમ અંતર  $d$ , સુવર્ણના ન્યુક્લિયસ અને  $\alpha$ -કણની ત્રિજ્યાઓના સરવાળા કરતાં ખાસું મોટું છે. આમ,  $\alpha$ -કણ સુવર્ણ (ગોલ્ડ) ન્યુક્લિયસનો સ્પર્શ પણ કર્યા વિના પોતાની દિશા ઉલટાવે છે.

## ઉદાહરણ 12.2



Simulate Rutherford scattering experiment  
[http://www-outreach.phy.cam.ac.uk/camphy/nucleus/nucleus6\\_1.htm](http://www-outreach.phy.cam.ac.uk/camphy/nucleus/nucleus6_1.htm)

### 12.2.2 ઇલેક્ટ્રોન કક્ષાઓ (Electron Orbits)

પ્રયોગ કરનારું રધરફર્ડનું પરમાણુ અંગેનું ન્યુક્લિયર મોડેલ પરમાણુનું એવું ચિત્ર રજૂ કરે છે કે પરમાણુ, તેના કેન્દ્રમાં ખૂબ નાના, દળદાર અને ધન વિદ્યુતભારિત ન્યુક્લિયસ અને તેની આસપાસ ગતિક રીતે સ્થાયી એવી અનુરૂપ કક્ષાઓમાં બ્રમણ કરતા ઇલેક્ટ્રોનનો બનેલો, વિદ્યુતીય રીતે તટસ્થ ગોળો છે. બ્રમણ કરતા ઇલેક્ટ્રોન અને ન્યુક્લિયસ વચ્ચેનું સ્થિત વિદ્યુત આકર્ષણ બળ  $F_e$ , તેમને કક્ષામાં ગતિશીલ રાખવા માટેનું જરૂરી કેન્દ્રગામી બળ ( $F_c$ ) પુરું પાડે છે. આમ, હાઈડ્રોજન પરમાણુમાં ગતિકીય રીતે સ્થાયી કક્ષા માટે

$$F_e = F_c$$

$$\frac{1}{4\pi\epsilon_0} \frac{e^2}{r^2} = \frac{mv^2}{r} \quad (12.2)$$

## ભौतિકવિજ્ઞાન

આમ, કક્ષીય ત્રિજ્યા અને ઈલેક્ટ્રોનના વેગ વચ્ચેનો સંબંધ

$$r = \frac{e^2}{4\pi\epsilon_0 m v^2} \quad (12.3)$$

છે. હાઈડ્રોજન પરમાણુમાં ઈલેક્ટ્રોનની ગતિગીર્જા (K) અને સ્થિતવિદ્યુત સ્થિતગીર્જા (U)

$$K = \frac{1}{2} m v^2 = \frac{e^2}{8\pi\epsilon_0 r} \quad \text{અને} \quad U = -\frac{e^2}{4\pi\epsilon_0 r} \quad \text{છે.}$$

(Uમાંનું ઋણ ચિહ્ન સૂચવે કે સ્થિત વિદ્યુતબળ  $-r$  દિશામાં છે.) આમ, હાઈડ્રોજન પરમાણુમાં ઈલેક્ટ્રોનની કુલ ઊર્જા E

$$\begin{aligned} E = K + U &= \frac{e^2}{8\pi\epsilon_0 r} - \frac{e^2}{4\pi\epsilon_0 r} \\ &= -\frac{e^2}{8\pi\epsilon_0 r} \end{aligned} \quad (12.4)$$

છે. ઈલેક્ટ્રોનની કુલ ઊર્જા ઋણ છે. આ એ હકીકતનું સૂચન કરે છે કે ઈલેક્ટ્રોન ન્યુક્લિયસ સાથે બંધિત છે. જો E ધન હોત તો ઈલેક્ટ્રોન ન્યુક્લિયસની આસપાસ બંધ કક્ષામાં ન ફરતો હોત.

**ઉદાહરણ 12.3** પ્રાયોગિક રીતે એમ જણાયું છે કે હાઈડ્રોજન પરમાણુને પ્રોટોન અને ઈલેક્ટ્રોનમાં છૂટા પાડવા માટે  $13.6 \text{ eV}$  ઊર્જાની જરૂર છે. હાઈડ્રોજન પરમાણુમાં ઈલેક્ટ્રોનની કક્ષીય ત્રિજ્યા અને વેગની ગણતરી કરો.

ઉકેલ હાઈડ્રોજન પરમાણુમાં ઈલેક્ટ્રોનની કુલ ઊર્જા  $-13.6 \text{ eV}$ .

$-13.6 \text{ eV} = -13.6 \times 1.6 \times 10^{-19} \text{ J} = -2.2 \times 10^{-18} \text{ J}$  છે. આમ, સમીકરણ (12.4) પરથી આપણાને,

$$E = -\frac{e^2}{8\pi\epsilon_0 r} = -2.2 \times 10^{-18} \text{ J} \text{ મળે.}$$

આ પરથી કક્ષીય ત્રિજ્યા,

$$\begin{aligned} r &= \frac{e^2}{8\pi\epsilon_0 E} = -\frac{(9 \times 10^9 \text{ N m}^2 / \text{C}^2)(1.6 \times 10^{-19} \text{ C})^2}{(2)(-2.2 \times 10^{-18} \text{ J})} \\ &= 5.3 \times 10^{-11} \text{ m} \end{aligned}$$

ભ્રમણ કરતા ઈલેક્ટ્રોનનો વેગ,  $m = 9.1 \times 10^{-31} \text{ kg}$  લઈને સમીકરણ (12.3) પરથી ગણી શકાય.

$$v = \frac{e}{\sqrt{4\pi\epsilon_0 mr}} = 2.2 \times 10^6 \text{ m/s}$$

દાખલાણ 12.3

### 12.3 પરમાણુ વર્ણપટ (ATOMIC SPECTRA)

પરિચ્છેદ 12.1માં જણાવ્યા મુજબ, દરેક તત્ત્વને તેના દ્વારા ઉત્સર્જિત વિકિરણનો લાક્ષણિક વર્ણપટ હોય છે. નીચા દબાંડે પરમાણુક વાયુ કે બાય્ધમાંથી સામાન્ય રીતે વિદ્યુતપ્રવાહ પસાર કરીને તેને ઉત્સર્જિત કરવામાં આવે છે ત્યારે ઉત્સર્જિત વિકિરણના વર્ણપટમાં અમુક નિશ્ચિત તરંગલંબાઈઓ જ હોય છે. આ પ્રકારના વર્ણપટને ઉત્સર્જન રેખીય વર્ણપટ કહે છે અને તે અંધકારમય (અંધારી)

પાર્શ્વભૂમિમાં પ્રકાશિત રંગીન રેખાઓનો બનેલો છે. પરમાણુક હાઇડ્રોજન વડે ઉત્સર્જિત વર્ષાપટ આકૃતિ 12.5માં દર્શાવેલ છે. આથી, કોઈ વાયુના ઉત્સર્જિત રેખીય વર્ષાપટનો અભ્યાસ તે વાયુની ઓળખ માટે ‘અંગુલિધાપ’ (Fingerprint) જેવું કામ કરે છે. જ્યારે શેત્ર પ્રકાશ આ વાયુમાંથી પસાર થાય અને આપણો તેમાંથી નિર્ગમિત પ્રકાશનું સ્પેક્ટ્રોમીટરની મદદથી વિશ્વેષણ કરીએ ત્યારે આપણને વર્ષાપટમાં કેટલીક કાળી (અપ્રકાશિત) રેખાઓ દેખાય છે. આ અપ્રકાશિત રેખાઓ બરાબર તે ૪ તરંગલંબાઈઓને અનુરૂપ છે કે જે આ વાયુના ઉત્સર્જન વર્ષાપટમાં જોવા મળતી હતી. આ અપ્રકાશિત રેખાઓથી બનતા વર્ષાપટને વાયુના દ્રવ્યનો શોષણ વર્ષાપટ કહે છે.

### 12.3.1 વર્ષાપટ શ્રેણીઓ (Spectral Series)

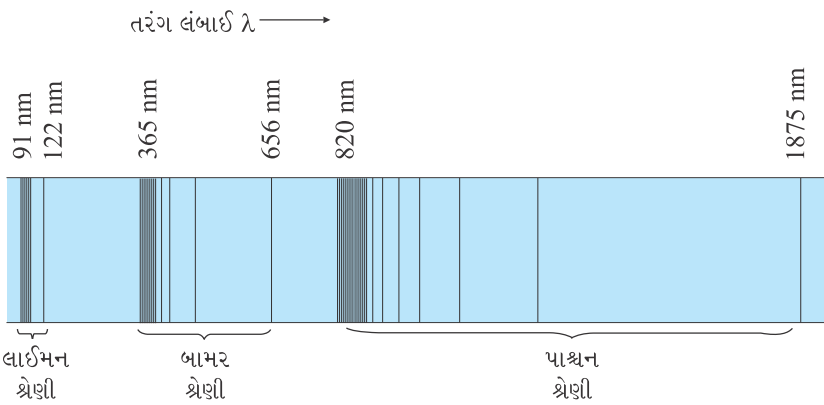
આપણો કદાચ એવી અપેક્ષા રાખીએ કે કોઈ ચોક્કસ તત્વ વડે ઉત્સર્જિત પ્રકાશની આવૃત્તિઓ કોઈ ચોક્કસ નિયમિતતા ધરાવતી હશે. હાઇડ્રોજન સૌથી સાદો પરમાણુ છે અને તેથી તેનો વર્ષાપટ સૌથી સાદો છે. આમ છતાં, અવલોકિત વર્ષાપટમાં, પ્રથમ નજરે, વર્ષાપટ રેખાઓમાં કોઈ વ્યવસ્થા કે નિયમિતતા જેવું દેખાતું નથી. પરંતુ હાઇડ્રોજન વર્ષાપટના કેટલાંક સમૂહો (Sets)માંની રેખાઓ વચ્ચેનું અંતર નિયમિત રીતે ઘટતું જાય છે (આકૃતિ 12.5). આ દરેક સમૂહને વર્ષાપટ શ્રેણી કહે છે. 1885માં આવી પ્રથમ શ્રેણી સ્વીડનના શાળાના શિક્ષક જોહન જેકબ બામર (1825-1898) દ્વારા હાઇડ્રોજન વર્ષાપટના દર્શય વિભાગમાં જોવામાં આવી હતી. આ શ્રેણીને બામર શ્રેણી (આકૃતિ 12.6) કહે છે. લાલ રંગના વિભાગમાં દેખાતી મહત્તમ તરંગલંબાઈ 656.3 nmની રેખાને  $H_{\alpha}$  રેખા, તેની પણીની બ્લુ-ગ્રીન વિભાગમાં દેખાતી 486.1 nm તરંગલંબાઈની રેખાને  $H_{\beta}$  રેખા, ગ્રીલ જાંબલી વિભાગમાં દેખાતી 434.1 nm તરંગલંબાઈની રેખાને  $H_{\gamma}$  રેખા વગેરે કહે છે. જેમ તરંગલંબાઈ ઘટતી જાય તેમ રેખાઓ એકબીજાની વધુ નજીક આવેલી અને ઓછી તીવ્રતા ધરાવતી જણાય છે. અવલોકિત તરંગલંબાઈઓ માટે બામરે એક સરળ આનુભવિક (Empirical) સૂત્ર

$$\frac{1}{\lambda} = R \left( \frac{1}{2^2} - \frac{1}{n^2} \right) \quad (12.5)$$

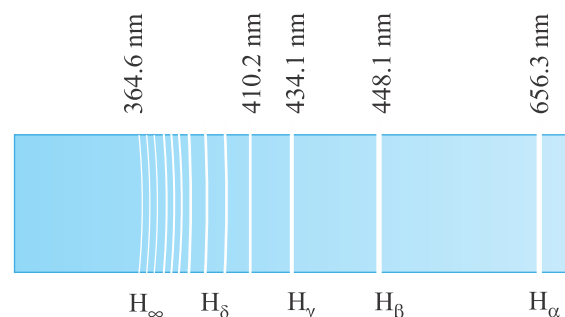
મેળવ્યું. જ્યાં,  $\lambda$  તરંગલંબાઈ છે,  $R$  અચળાંક છે, જેને રીડબર્ગનો અચળાંક કહે છે અને  $n$  ને પૂર્ણાંક મૂલ્યો 3, 4, 5 વગેરે હોય છે.  $R$ નું મૂલ્ય  $1.097 \times 10^7 \text{ m}^{-1}$  છે. આ સમીકરણને બામરનું સૂત્ર કહે છે.

સમીકરણ (12.5)માં  $n = 3$  લેતાં,  $H_{\alpha}$  રેખાની તરંગલંબાઈ મળે છે.

$$\frac{1}{\lambda} = 1.097 \times 10^7 \left( \frac{1}{2^2} - \frac{1}{3^2} \right) \text{ m}^{-1}$$



આકૃતિ 12.5 હાઇડ્રોજનના વર્ષાપટમાં ઉત્સર્જન રેખાઓ



આકૃતિ 12.6

$$= 1.522 \times 10^6 \text{ m}^{-1}$$

એટલે કે  $\lambda = 656.3 \text{ nm}$

$n = 4$  માટે  $H_{\beta}$  રેખાની તરંગલંબાઈ મળે, વગેરે.  $n = \infty$  માટે શ્રેણીની સીમા (Limit)  $\lambda = 364.6 \text{ nm}$  મળે છે. બામર શ્રેણીની આ સૌથી ટૂંકી (લઘુતમ) તરંગલંબાઈ છે. આ સીમાથી આગળ કોઈ સ્પષ્ટ રેખા દેખાતી નથી, પણ તેના બદલે જાંખો સતત વર્ણપટ દેખાય છે. ત્યારપણી હાઈડ્રોજન માટે બીજી વર્ણપટ શ્રેણીઓ શોધાઈ હતી. તેમને શોધનારના નામ પરથી આ શ્રેણીઓને લાઈમન, પાશ્ન, બ્રેકેટ અને ફંડ શ્રેણીઓ કહે છે. તેમને નીચેના સૂત્રો દ્વારા રજૂ કરાય છે:

લાઈમન શ્રેણી:

$$\frac{1}{\lambda} = R \left( \frac{1}{1^2} - \frac{1}{n^2} \right) \quad n = 2, 3, 4, \dots \quad (12.6)$$

પાશ્ન શ્રેણી:

$$\frac{1}{\lambda} = R \left( \frac{1}{3^2} - \frac{1}{n^2} \right) \quad n = 4, 5, 6, \dots \quad (12.7)$$

બ્રેકેટ શ્રેણી:

$$\frac{1}{\lambda} = R \left( \frac{1}{4^2} - \frac{1}{n^2} \right) \quad n = 5, 6, 7, \dots \quad (12.8)$$

ફંડ શ્રેણી:

$$\frac{1}{\lambda} = R \left( \frac{1}{5^2} - \frac{1}{n^2} \right) \quad n = 6, 7, 8, \dots \quad (12.9)$$

લાઈમન શ્રેણી પારાંબલી (Ultraviolet) વિભાગમાં છે તથા પાશ્ન, બ્રેકેટ અને ફંડ શ્રેણીઓ પારરક્ત (Infrared) વિભાગમાં છે.

આપણે બામરનું સૂત્ર સમીકરણ (12.5), પ્રકાશની આવૃત્તિના પદમાં લખવા માટે

$$c = v\lambda$$

$$\text{અથવા } \frac{1}{\lambda} = \frac{v}{c} \text{ યાદ કરીએ.}$$

આમ, સમીકરણ (12.5)

$$v = Rc \left( \frac{1}{2^2} - \frac{1}{n^2} \right) \quad (12.10)$$

બને છે. બહુ ઓછાં તત્ત્વો (હાઈડ્રોજન, સીંગલી આયોનાઈઝેડ (Singly Ionised) લિલિયમ અને ડબલી આયોનાઈઝેડ (Doubly Ionised) લિલિયમ) એવાં છે કે જેમના વર્ણપટ સમીકરણ (12.5), સમીકરણ (12.6) જેવાં સરળ સૂત્ર દ્વારા રજૂ કરી શકાય.

સમીકરણ (12.5) - (12.9) ઉપયોગી છે કારણ કે તેઓ હાઈડ્રોજન પરમાણુ દ્વારા ઉત્સર્જન કે શોધણ પામતી તરંગલંબાઈઓ દર્શાવે છે. આમ છતાં, આ પરિણામો આનુભવિક (પ્રયોગથી મળેલ) છે અને હાઈડ્રોજન વર્ણપટમાં માત્ર અમુક જ તરંગલંબાઈઓ શા માટે દેખાય છે તેનું કોઈ કારણ આપતા નથી.

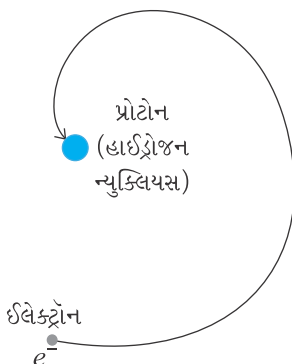
## 12.4 હાઈડ્રોજન પરમાણુનું બોહર મોડેલ

(BOHR MODEL OF THE HYDROGEN ATOM)

રધરફર્ડ સૂચવેલું પરમાણુનું મોડેલ એવું ધારી લે છે કે તે જેનું અનુકરણ કરે છે તે, સૂર્ય-ગ્રહ તંત્રની જેમ કેન્દ્રમાં ન્યુક્લિયસ અને ભ્રમણ કરતા ઈલેક્ટ્રોનનું બનેલું પરમાણુ સ્થાયી (Stable) છે. આમ છતાં, આ બે પરિસ્થિતિઓ વચ્ચે કેટલાક મૂળભૂત તફાવત છે. ગ્રહોનું તંત્ર ગુરુત્વાકર્ષણ બળથી

## પરમાણુઓ

પકડાયેલું રહે છે, જ્યારે ન્યુક્લિયસ-ઈલેક્ટ્રોનનું તંત્ર, તેઓ વિદ્યુતભારિત હોવાથી, બળ અંગેના કુલંબના નિયમથી આંતરકિયા કરે છે. આપણે જાણીએ છીએ કે વર્તુળાકારે ગતિ કરતો પદાર્થ સતત પ્રવેગ ધરાવે છે. આ પ્રવેગ કેન્દ્રગામી પ્રકારનો છે. પ્રચલિત વિદ્યુતચુંબકીય વાદ (સિદ્ધાંત) અનુસાર પ્રવેગિત થતો વિદ્યુતભાર વિદ્યુતચુંબકીય તરંગોના રૂપમાં વિકિરણનું ઉત્સર્જન કરે છે. આથી, પ્રવેગિત ઈલેક્ટ્રોનની ઊર્જા સતત ઘટવી જોઈએ. આવો ઈલેક્ટ્રોન અંદર તરફ સર્પિલ ગતિ કરીને અંતે ન્યુક્લિયસમાં પડી જાય (આફ્ટિ 12.7). આમ, આવો પરમાણુ સ્થાયી (Stable) ન જ હોઈ શકે. આ ઉપરાંત, પ્રચલિત વિદ્યુતચુંબકીય વાદ અનુસાર ભ્રમણ કરતા ઈલેક્ટ્રોન વડે ઉત્સર્જિત વિદ્યુતચુંબકીય તરંગોની આવૃત્તિ, પરિબ્રમણની આવૃત્તિ જેટલી હોય છે. ઈલેક્ટ્રોન જેમ-જેમ અંદર તરફ સર્પિલ ગતિ કરે, તેમ તેમ તેનો કોણીય વેગ અને તેથી આવૃત્તિ સતત બદલાય. આમ, તે સતત વર્ષાપટ ઉત્સર્જિત પ્રકારણની આવૃત્તિ પણ સતત બદલાય. આમ, તે સતત વર્ષાપટ ઉત્સર્જિત કરે, જે હકીકતમાં જોવા મળતા રેખીય વર્ષાપટથી વિરુદ્ધ છે. સ્પષ્ટ રીતે, રધરફર્ડ મોડેલ તો વાર્તાનો એક જ ભાગ આપણાને જણાવે છે. એનો અર્થ એ છે કે પરમાણુનું બંધારણ સમજાવવા માટે પ્રચલિત જ્યાલો પુરતા નથી.



આફ્ટિ 12.7 પરમાણુનો પ્રવેગિત ઈલેક્ટ્રોન જેમ ઊર્જા ગુમાવે તેમ સર્પિલ ગતિથી ન્યુક્લિયસમાં જવો જોઈએ.

ઉદાહરણ 12.4 હાઈડ્રોજન પરમાણુમાં પ્રોટોનની આસપાસ ભ્રમણ કરતા ઈલેક્ટ્રોન વડે ઉત્સર્જિત પ્રકારણની પ્રારંભિક આવૃત્તિ, પ્રચલિત વિદ્યુતચુંબકીય વાદ અનુસાર ગણો.

ઉકેલ ઉદાહરણ 12.3 પરથી આપણે જાણીએ છીએ કે હાઈડ્રોજન પરમાણુમાં પ્રોટોનની આસપાસ  $5.3 \times 10^{-11}$  m ત્રિજ્યાની કક્ષામાં ભ્રમણ કરતા ઈલેક્ટ્રોનનો વેગ  $2.2 \times 10^6$  m/s છે. આથી, પ્રોટોનની આસપાસ ઈલેક્ટ્રોનના ભ્રમણની આવૃત્તિ

$$v = \frac{v}{2\pi r} = \frac{2.2 \times 10^6 \text{ ms}^{-1}}{2\pi(5.3 \times 10^{-11} \text{ m})} \\ \approx 6.6 \times 10^{15} \text{ Hz}$$

પ્રચલિત વિદ્યુતચુંબકીય વાદ અનુસાર, આપણે જાણીએ છીએ કે ભ્રમણ કરતા ઈલેક્ટ્રોન વડે ઉત્સર્જિત વિદ્યુતચુંબકીય તરંગોની આવૃત્તિ, ન્યુક્લિયસની આસપાસના તેના ભ્રમણની આવૃત્તિ જેટલી હોય છે. આમ, ઉત્સર્જિત પ્રકારણની પ્રારંભિક આવૃત્તિ  $6.6 \times 10^{15}$  Hz છે.



નીલ્સ હેનરીક ડેવીડ બોહર (Niels Henrik David Bohr) (1885-1962)

નીલ્સ હેનરીક ડેવીડ બોહર (Niels Henrik David Bohr) (1885-1962) : તેન્માર્કનો બૌતિકવિજ્ઞાની જેણો કવોન્ટમ વિચારોની મદદથી હાઈડ્રોજનનો વર્ષાપટ સમજાવ્યો. તેણે ન્યુક્લિયસના પ્રવાહી બુંદ મોડેલ પર આધારિત ન્યુક્લિયર વિખંડનનો વાદ આપ્યો. બોહરે કવોન્ટમ યંત્રશાસ્ત્રમાં સૈદ્ધાંતિક કોયડાઓની સ્પષ્ટતામાં ખાસ કરીને પૂરક સિદ્ધાંત (Complementary Principle)નું સૂચન કરીને ફાળો આપ્યો.

ઉદાહરણ 12.4

નીલ્સ હેનરીક ડેવીડ બોહર (Niels Henrik David Bohr) (1885-1962)

## ભौतिकવिज्ञान

નવા જ વિકાસ પામતા કવોન્ટમ અધિતક્નો ઉમેરો કરીને નીલ્સ બોહ્દર (1885-1962) દ્વારા આ મોડેલમાં કેટલાક ફેરફારો કરવામાં આવ્યા. 1912માં નીલ્સ બોહ્દરે રધરફર્ડની પ્રયોગશાળામાં કેટલાક મહિનાઓ માટે અભ્યાસ કર્યો હતો અને રધરફર્ડના ન્યુક્લિયર મોડેલના વાજબીપણા અંગે તેમને ખાતરી હતી. ઉપર ચર્ચેલ દ્વિધાનો સામનો કરતાં, 1913માં બોહ્દર એવા નિર્જય પર પહોંચ્યા કે સ્થૂળ માપકમ (મોટા માપકમ) પરની ઘટનાઓને સમજાવવામાં વિદ્યુતચુંબકીય વાદ સફળ હોવા છતાં તે પરમાણુ માપકમ પરની પ્રક્રિયાઓને લાગુ પાડી શકતો નથી. એ સ્પષ્ટ થયું કે સ્થાપિત થયેલા પ્રચલિત યંત્રશાસ્ત્રના અને વિદ્યુતચુંબકત્વના સિદ્ધાંતોથી મૂળભૂત રીતે સારા એવા જુદા પડતા ખ્યાલોની, પરમાણુનું બંધારણ અને તેનો પરમાણુ વર્ણપત્ર સાથેનો સંબંધ સમજવા માટે જરૂર છે. બોહ્દરે પ્રચલિત અને પ્રારંભના કવોન્ટમ ખ્યાલોને સંયોજિત કરીને તેનો વાદ ત્રણ સ્વીકૃતિઓના સ્વરૂપમાં આપ્યો. આ સ્વીકૃતિઓ આ પ્રમાણે છે :

(i) બોહ્દરની પ્રથમ સ્વીકૃતિ એ હતી કે પરમાણુમાં ઈલેક્ટ્રોન કેટલીક સ્થાયી કક્ષાઓમાં વિકિરણ જર્ઝનું ઉત્સર્જન કર્યા વિના બ્રમજા કરી શકે છે. આ બાબત વિદ્યુતચુંબકીય વાદના અનુમાનો કરતાં વિરુદ્ધ છે. આ સ્વીકૃતિ અનુસાર દરેક પરમાણુ કેટલીક ચોક્કસ સ્થાયી અવસ્થાઓમાં હોઈ શકે છે અને દરેક શક્ય અવસ્થા ચોક્કસ મૂલ્યની ઊર્જા ધરાવે છે. આ અવસ્થાઓને પરમાણુની સ્થાયી અવસ્થાઓ કહે છે.

(ii) બોહ્દરની બીજી સ્વીકૃતિ આ સ્થાયી અવસ્થાઓને વ્યાખ્યાપિત કરે છે. આ સ્વીકૃતિ જણાવે છે કે ન્યુક્લિયસની આસપાસ ઈલેક્ટ્રોન માત્ર એવી જ કક્ષાઓમાં બ્રમજા કરે છે કે જેમાં તેનું કોણીય વેગમાન  $h/2\pi$ ના કોઈક પૂર્ણાંક ગુણાંક જેટલું હોય, જ્યાં  $h$  એ લેન્ડનો અચળાંક ( $= 6.6 \times 10^{-34} \text{ Js}$ ) છે. આમ, કક્ષીય ઈલેક્ટ્રોનના કોણીય વેગમાન (L) નું કવોન્ટમીકરણ થયેલ (Quantised) છે. એટલે કે

$$L = nh/2\pi \quad (12.11)$$

(iii) બોહ્દરની ત્રીજી સ્વીકૃતિ દ્વારા લેન્ડ અને આઈન્સ્ટાઇન દ્વારા વિકસિત કરેલા પ્રારંભિક કવોન્ટમ ખ્યાલોનો પરમાણુવાદમાં સમાવેશ કરેલ હતો. તે જણાવે છે કે ઈલેક્ટ્રોન તેની એક વિકિરણ ઉત્સર્જિત ન કરતી કક્ષામાંથી નિભ ઊર્જાની બીજી કક્ષામાં સંકાંતિ કરી શકે છે. જ્યારે તે આવું કરે છે ત્યારે એક ફોટોનનું ઉત્સર્જન થાય છે જેની ઊર્જા પ્રારંભિક અને અંતિમ અવસ્થાઓની ઊર્જાઓ વચ્ચેના તફાવત જેટલી હોય છે. આ પરથી ઉત્સર્જિત ફોટોનની આવૃત્તિ (v, ન્યુ એમ વંચાય)

$$hv = E_i - E_f \quad (12.12)$$

સૂત્ર દ્વારા મળે છે, જ્યાં  $E_i$  અને  $E_f$  એ પ્રારંભિક અને અંતિમ અવસ્થાઓની ઊર્જાઓ છે અને  $E_i > E_f$ .

હાઈન્ઝ્રોઝન પરમાણુ માટે સમીકરણ (12.4) વિવિધ ઊર્જા સ્તરોની ઊર્જાઓ નક્કી કરવાનું સૂત્ર આપે છે. પરંતુ આ સમીકરણમાં ઈલેક્ટ્રોનની કક્ષાની ત્રિજ્યા  $r_n$ ની જરૂર છે.  $r_n$  ગણતરી કરવા માટે બોહ્દરની બીજી સ્વીકૃતિ, જે ઈલેક્ટ્રોનના કોણીય વેગમાનની કવોન્ટમીકરણની શરત છે, તેનો ઉપયોગ કરવામાં આવે છે. કોણીય વેગમાન L,

$$L = mv r$$

પરથી મળે છે.

બોહ્દરની કવોન્ટમીકરણની બીજી સ્વીકૃતિ [સમીકરણ (12.11)] જણાવે છે કે કોણીય વેગમાનના માન્ય મૂલ્યો  $h/2\pi$ ના પૂર્ણાંક ગુણાંકો છે.

$$L_n = mv_n r_n = \frac{nh}{2\pi} \quad (12.13)$$

જ્યાં,  $n$  એ પૂર્ણાંક છે,  $r_n$  એ  $n$ -મી શક્ય કક્ષાની ત્રિજ્યા છે અને  $v_n$  એ  $n$ -મી કક્ષામાં બ્રમજા કરતા ઈલેક્ટ્રોનની ઊર્જા છે. માન્ય કક્ષાઓને  $n$ ના મૂલ્ય અનુસાર 1, 2, 3, ... એવો કમ અપાયેલ છે, જેને તે કક્ષાનો મુખ્ય કવોન્ટમ અંક (Principal Quantum Number) કહે છે.

સમીકરણ (12.3) પરથી,  $v_n$  અને  $r_n$  વચ્ચેનો સંબંધ

$$v_n = \frac{e}{\sqrt{4\pi\epsilon_0 m r_n}}$$

છ. તેનું સમીકરણ (12.13) સાથે સંયોજન કરતાં, આપણાને  $v_n$  અને  $r_n$  નાં સૂત્રો મળે છે.

$$v_n = \frac{1}{n} \frac{e^2}{4\pi\epsilon_0} \frac{1}{(h/2\pi)} \quad (12.14)$$

અને

$$r_n = \left(\frac{n^2}{m}\right) \left(\frac{h}{2\pi}\right)^2 \frac{4\pi\epsilon_0}{e^2} \quad (12.15)$$

સમીકરણ (12.14) દર્શાવે છે કે  $n$ -મી કક્ષામાં કક્ષીય વેગ ઘટીને  $n$ -મા ભાગનો થાય છે. સમીકરણ

(12.15)નો ઉપયોગ કરીને સૌથી અંદરની કક્ષા ( $n=1$ )નું પરિમાણ

$$r_1 = \frac{h^2\epsilon_0}{\pi me^2}$$

મળે છે. આ ત્રિજ્યાને બોહર ત્રિજ્યા (Bohr Radius) કહે છે અને તેને પ્રતિક  $a_0$  તરીકે રજૂ કરાય છે.

$$a_0 = \frac{h^2\epsilon_0}{\pi me^2} \quad (12.16)$$

$h, m, \epsilon_0$  અને  $e$ નાં મૂલ્યો અવેજ કરતાં  $a_0 = 5.29 \times 10^{-11} \text{ m}$  મળે છે. સમીકરણ (12.15)

પરથી એ પણ જોઈ શકાય છે કે કક્ષાઓની ત્રિજ્યાઓ  $n^2$  મુજબ વધે છે.

હાઈડ્રોજન પરમાણુની સ્થાયી અવસ્થાઓમાં ઈલેક્ટ્રોનની ફુલ ઊર્જા, સમીકરણ (12.4)માં કક્ષીય ત્રિજ્યાનું મૂલ્ય અવેજ કરીને નીચે મુજબ મેળવી શકાય છે.

$$E_n = -\left(\frac{e^2}{8\pi\epsilon_0}\right) \left(\frac{m}{n^2}\right) \left(\frac{2\pi}{h}\right)^2 \left(\frac{e^2}{4\pi\epsilon_0}\right)$$

$$\text{અથવા } E_n = -\frac{me^4}{8\epsilon_0^2 h^2 n^2} \quad (12.17)$$

સમીકરણ (12.17)માં યોગ્ય મૂલ્યો મૂકતાં,

$$E_n = -\frac{2.18 \times 10^{-18}}{n^2} \text{ J} \quad (12.18)$$

મળે છે.

પરમાણુ ઊર્જાનો Joule માં દર્શાવવાને બદલે ઘણીવાર ઈલેક્ટ્રોન વોલ્ટ (eV)માં દર્શાવવામાં આવે છે.

$$1 \text{ eV} = 1.6 \times 10^{-19} \text{ J} \text{ હોવાથી, સમીકરણ (12.18)ને નીચે મુજબ લખી શકાય છે.}$$

$$E_n = -\frac{13.6}{n^2} \text{ eV} \quad (12.19)$$

કક્ષામાં બ્રમણ કરતા ઈલેક્ટ્રોનની ફુલ ઊર્જાનું ઝકા મૂલ્ય એમ સૂચવે છે કે ઈલેક્ટ્રોન ન્યુક્લિયસ સાથે બંધિત (Bound) છે. આમ, હાઈડ્રોજન પરમાણુમાંથી ઈલેક્ટ્રોનને તેના ન્યુક્લિયસથી (અથવા હાઈડ્રોજન પરમાણુ માટે પ્રોટોનથી) અનંત અંતરે દૂર કરવા માટે ઊર્જાની જરૂર પડશે.

## ભौतिकવिज्ञान

સમीકરणો (12.17) થી (12.19) સાધિત કરવામાં એવી પૂર્વધારણા રહેલી છે કે ઈલેક્ટ્રોનની કક્ષાઓ વર્તુળાકાર છે. જો કે વસ્ત વર્ગના બળની અસર હેઠળ કક્ષાઓ વ્યાપકરૂપે દીર્ઘવૃત્તિય આકાર (Elliptical)ની હોય છે. (ગ્રહો સૂર્યના વસ્ત વર્ગના ગુરુત્વ બળની અસર હેઠળ દીર્ઘવૃત્તિય કક્ષાઓમાં ભ્રમણ કરે છે.) આમ ઇતાં, જર્મન ભौતિકવિજ્ઞાની આર્નોલ્ડ સોમરફેલ (1868-1951) દ્વારા એમ દર્શાવાયું કે વર્તુળાકાર કક્ષાઓનું નિયંત્રણ હળવું (Relax) કરવામાં આવે તો આ સમીકરણો દીર્ઘવૃત્તિય કક્ષાઓને પણ લાગુ પડે છે.

### પરમાણુમાં ઈલેક્ટ્રોનની કક્ષા વિરુદ્ધ અવસ્થા (કક્ષીય ચિત્ર)

ભौતિકવિજ્ઞાનના અભ્યાસમાં એક યા બીજા સમયે આપણાને પરમાણુના બોહ્ઝર મોડેલની ઓળખ થયેલી છે. આ મોડેલનું ક્વોન્ટમ યંત્રશાસ્ત્રના ઈતિહાસમાં અને વિશેષ કરીને પરમાણુનું બંધારણ સમજાવવામાં, આગવું સ્થાન છે. પ્રચલિત ખ્યાલો મુજબ તો પ્રવેગિત કણને વિકિરણનું ઉત્સર્જન કરવાની જરૂર છે, તેનાથી વિપરિત (વિરુદ્ધ) બોહ્ઝરે ઈલેક્ટ્રોન માટે નિશ્ચિત ઊર્જા કક્ષાઓનો કાંતિકારી વિચાર રજૂ કર્યો તે એક સિમાચિહ્ન બની ગયેલ છે. બોહ્ઝરે નિશ્ચિત કક્ષાઓમાં ભ્રમણ કરતા ઈલેક્ટ્રોનના કોણીય વેગમાનના ક્વોન્ટમીકરણ (Quantisation)નો જ્યાલ રજૂ કર્યો. આમ, તે પરમાણુના બંધારણ અંગેનું અર્ધ-પ્રચલિત (Semi Classical) ચિત્ર હતું.

હવે, ક્વોન્ટમ યંત્રશાસ્ત્રનો વિકાસ થતાં આપણો પરમાણુના બંધારણ અંગે વધુ સારી સમજણ ધરાવીએ છીએ. શ્રોટિંજર (Schrodinger)ના તરંગ સમીકરણના ઉકેલો પ્રોટોનના આકર્ષણ બળોને લીધે પરમાણુમાં બંધિત ઈલેક્ટ્રોનનો તરંગ જેવો પ્રકાર દર્શાવે છે.

બોહ્ઝર મોડેલમાં ઈલેક્ટ્રોનની કક્ષા, ન્યુક્લિયસની આસપાસ ઈલેક્ટ્રોનની ગતિનો વર્તુળાકાર પથ છે. પરંતુ ક્વોન્ટમ યંત્રશાસ્ત્ર મુજબ પરમાણુમાં ઈલેક્ટ્રોનની ગતિ સાથે કોઈ નિશ્ચિત માર્ગ (પથ) આપણે સાંકળી શકીએ નહિ. આપણે માત્ર, ન્યુક્લિયસની આસપાસ અમુક નિશ્ચિત વિસ્તારમાં ઈલેક્ટ્રોનને શોધવાની સંભાવના (Probability)ની જ વાત કરી શકીએ. આ સંભાવના એક - ઈલેક્ટ્રોન તરંગવિધેય જેને Orbital કહે છે તેના પરથી નક્કી કરી શકાય છે. આવું વિધેય ઈલેક્ટ્રોનના ફક્ત યામો પર જ આધારિત છે.

આથી, એ જરૂરી છે કે આપણે આ બે મોડેલ વચ્ચે રહેલો માર્મિક (સૂક્ષ્મ, Subtle) તફાવત સમજીએ :

- બોહ્ઝર મોડેલ એક ઈલેક્ટ્રોન પરમાણુઓ/આયનો માટે જ માન્ય છે, આ મોડેલમાં દરેક કક્ષાને અપાતું ઊર્જાનું મૂલ્ય મુજ્ય ક્વોન્ટમ અંક પર આધારિત છે. આપણે જાણીએ છીએ કે એક - ઈલેક્ટ્રોન પરમાણુ/આયન માટે પરમાણુની સ્થાયી અવસ્થા સાથે સંકળાયેલ ઊર્જાનું મૂલ્ય માત્ર ન પર આધારિત છે. બહુ-ઈલેક્ટ્રોન પરમાણુ/આયન માટે આ સાચું નથી.
- હાઈડ્રોજન જેવા પરમાણુઓ/આયનો માટે શ્રોટિંજરના તરંગ સમીકરણના ઉકેલ જેને તરંગ વિધેય કહે છે તે, ન્યુક્લિયસની આસપાસ વિવિધ વિસ્તારોમાં ઈલેક્ટ્રોનને શોધવાની સંભાવના અંગે માહિતી આપે છે. આ Orbitalને બોહ્ઝર મોડેલમાં ઈલેક્ટ્રોન માટે વ્યાખ્યાયિત કરેલ કક્ષા (Orbit) સાથે કોઈ સામ્યતા નથી.

**ઉદાહરણ 12.5** પુષ્ટીની આસપાસ 10 kgનો એક ઉપગ્રહ (સેટેલાઈટ) 8000 km ત્રિજ્યા ધરાવતી વર્તુળ કક્ષામાં દર બે કલાકે એક વખત ભ્રમણ કરે છે. બોહ્ઝરનો કોણીય વેગમાનનો અધિત્તક, હાઈડ્રોજન પરમાણુમાંના ઈલેક્ટ્રોનની જેમ જ ઉપગ્રહને પણ લાગુ પડે છે એમ ધારીને ઉપગ્રહની કક્ષાનો ક્વોન્ટમ અંક શોધો.

#### ઉકેલ

સમીકરણ (12.13) પરથી આપણાને

$$mv_n r_n = nh/2\pi$$

મળો. અતે  $m = 10 \text{ kg}$  અને  $r_n = 8 \times 10^6 \text{ m}$ . આપણને બ્રમણ કરતા ઉપગ્રહનો આવર્તકાળ  $T$  તરીકે  $2 h$  મળો છે. એટલે કે  $T = 7200 \text{ s}$

$$\text{આમ, વેગ } v_n = 2\pi r_n / T. \text{ ઉપગ્રહની કક્ષાનો કવોન્ટમ અંક } n = (2\pi r_n)^2 \times m / (T \times h) \\ \text{યોગ્ય મૂલ્યો અવેજ કરતાં,} \\ n = (2\pi \times 8 \times 10^6 \text{ m})^2 \times 10 / (7200 \text{ s} \times 6.64 \times 10^{-34} \text{ Js}) \\ = 5.3 \times 10^{45}$$

એ નોંધો કે ઉપગ્રહ માટેનો કવોન્ટમ અંક અત્યંત મોટો છે ! હકીકતમાં આવા મોટા કવોન્ટમ અંકો માટે કવોન્ટમીકરણની શરતોનાં પરિણામો પ્રચલિત ભૌતિકવિજ્ઞાનથી મળતાં પરિણામો જેવાં હોય છે.

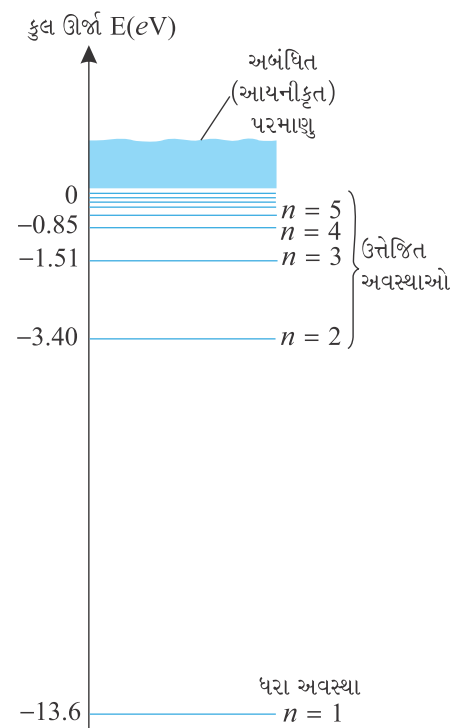
## ઉદાહરણ 12.5

### 12.4.1 ઊર્જા સ્તરો (Energy Levels)

જ્યારે ઈલેક્ટ્રોન, ન્યુક્લિયસની સૌથી નજીકની એટલે કે જેને માટે  $n = 1$  હોય તેવી કક્ષામાં બ્રમણ કરતો હોય ત્યારે પરમાણુની ઊર્જા લઘુતમ (મહત્તમ ઋણ મૂલ્ય) હોય છે.  $n = 2, 3, \dots$  માટે ઊર્જાનું નિરપેક્ષ મૂલ્ય નાનું હોય છે, આથી બહારની કક્ષાઓમાં ઊર્જા કમશ: વધુને વધુ હોય છે. પરમાણુની નિમ્નતમ (Lowest) અવસ્થાને ધરા અવસ્થા કહે છે અને તેમાં ઊર્જા લઘુતમ હોય છે, તેમજ ઈલેક્ટ્રોન સૌથી નાની ત્રિજ્યા (બોહ્ઝર ત્રિજ્યા  $a_0$ )ની કક્ષામાં બ્રમણ કરે છે. આ અવસ્થા ( $n = 1$ )ની ઊર્જા  $E_1, -13.6 \text{ eV}$  છે. આથી, હાઈડ્રોજન પરમાણુની ધરા અવસ્થામાંથી ઈલેક્ટ્રોનને મુક્ત કરવા માટે જરૂરી ઊર્જા  $13.6 \text{ eV}$  છે. તેને હાઈડ્રોજન પરમાણુની આયનીકરણ (Ionisation) ઊર્જા કહે છે. બોહ્ઝર મોદેલનું આ પૂર્વાનુમાન (Prediction) આયનીકરણ ઊર્જાના પ્રાયોગિક મૂલ્ય સાથે ઉત્તમ સામ્યતા ધરાવે છે.

ઓરડાના તાપમાને મોટાભાગના હાઈડ્રોજન પરમાણુઓ ધરા અવસ્થામાં હોય છે. જ્યારે હાઈડ્રોજન પરમાણુ, કોઈ ઈલેક્ટ્રોન સંઘાત (અથડામણ) જેવી પ્રક્રિયાથી ઊર્જા પ્રાપ્ત કરે છે ત્યારે પરમાણુ ઈલેક્ટ્રોનને ઉચ્ચ અવસ્થાઓ પર લઈ જવા માટે શક્તિમાન બને છે. આ સ્થિતિમાં પરમાણુ ઉત્તેજિત અવસ્થામાં હોવાનું કહેવાય છે. સમીકરણ (12.19) પરથી  $n = 2$  માટે, ઊર્જા  $E_2, -3.40 \text{ eV}$  છે. આનો અર્થ એ કે હાઈડ્રોજન પરમાણુમાં ઈલેક્ટ્રોનને તેની પ્રથમ ઉત્તેજિત અવસ્થા સુધી ઉત્તેજિત કરવા માટે જરૂરી ઊર્જા  $E_2 - E_1 = -3.4 \text{ eV} - (-13.6 \text{ eV}) = 10.2 \text{ eV}$  છે. તે જ પ્રમાણે  $E_3 = -1.51 \text{ eV}$  અને  $E_3 - E_1 = 12.09 \text{ eV}$  અથવા હાઈડ્રોજન પરમાણુને તેની ધરા અવસ્થામાંથી બીજી ઉત્તેજિત અવસ્થા ( $n = 3$ ) સુધી ઉત્તેજિત કરવા માટે,  $12.09 \text{ eV}$  ઊર્જાની જરૂર છે, વગેરે. આ ઉત્તેજિત અવસ્થાઓમાંથી ઈલેક્ટ્રોન ઓછી ઊર્જાવાળી અવસ્થામાં પાછો પડે ત્યારે આ પ્રક્રિયામાં એક ફોટોનનું ઉત્સર્જન કરે છે. આથી, જેમ જેમ હાઈડ્રોજન પરમાણુની ઉત્તેજિતતા વધે છે (એટલે કે જેમ જેમ  $n$  વધે છે) તેમ તેમ ઉત્તેજિત પરમાણુમાંથી ઈલેક્ટ્રોનને મુક્ત કરવા માટે જરૂરી લઘુતમ ઊર્જા ઘટતી જાય છે.

સમીકરણ (12.19) પરથી હાઈડ્રોજન પરમાણુની સ્થાયી અવસ્થાઓની ઊર્જા સ્તર આદૃત\*, બાજુમાંની આદૃત (12.8)માં દર્શાવેલ છે. મુખ્ય કવોન્ટમ અંક  $n$ ,



**આદૃત 12.8** હાઈડ્રોજન પરમાણુ માટે ઊર્જા સ્તર આદૃત. ઓરડાના તાપમાને હાઈડ્રોજન પરમાણુમાં ઈલેક્ટ્રોન તેનો મોટા ભાગનો સમય ધરા અવસ્થામાં પસાર કરે છે. હાઈડ્રોજન પરમાણુનું આયનીકરણ કરવા માટે ધરા અવસ્થામાંના ઈલેક્ટ્રોનને  $13.6 \text{ eV}$  ઊર્જા પૂરી પાડવી પડે. [સમક્ષિતજ રેખાઓ માન્ય (Allowed) ઊર્જા અવસ્થાઓની હાજરી દર્શાવે છે.]

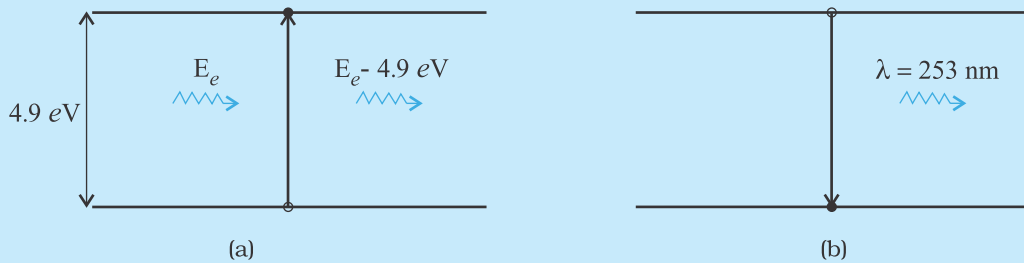
\* ઈલેક્ટ્રોનને  $E = 0 \text{ eV}$ થી ઉપરની કોઈ પણ કુલ ઊર્જા હોઈ શકે છે. આવી પરિસ્થિતિઓમાં ઈલેક્ટ્રોન મુક્ત છે. આથી, આદૃત 12.8માં દર્શાવ્યા મુજબ ઊર્જા અવસ્થાઓનો એક સંંગ વિભાગ (Continuum) છે.

## ભौतिकવिज्ञान

ઉर्जाना ચંદ્રતા કમમાં સ્થાયી અવસ્થાઓને દર્શાવે છે. આ આકૃતિમાં ઉચ્ચતમ ઉર્જા અવસ્થા, સમીકરણ (12.19)માં  $n = \infty$  ને અનુરૂપ છે અને તેની ઉર્જા 0 eV છે. પરમાણુની આટલી ઉર્જા જ્યારે ઈલેક્ટ્રોન ન્યુક્લિયસથી સંપૂર્ણ દૂર ( $r = \infty$ ) થઈને સ્થિર હોય ત્યારે હોય છે. જેમ ન વધતો જાય તેમ ઉત્તેજિત અવસ્થાઓની ઉર્જાઓ કેવી વધુ ને વધુ નજીક આવે છે તે જુઓ.

### ફ્રાન્ક-હર્ટ્ઝનો પ્રયોગ (FRANCK-HERTZ EXPERIMENT)

પરમાણુમાં અમુક નિશ્ચિત ઉર્જા સ્તરોના અસ્તિત્વની પ્રત્યક્ષ ચકાસણી 1914માં જેમસ ફ્રાન્ક અને ગુસ્તાવ હર્ટ્ઝ દ્વારા કરવામાં આવી હતી. તેમણે વિવિધ ગતિઉર્જા ધરાવતાં ઈલેક્ટ્રોનને મરક્યુરિની બાષ્પ (Vapour)માંથી પસાર કરીને મળતા મરક્યુરિ બાષ્પના વર્ણપત્રનો અભ્યાસ કર્યો. ઈલેક્ટ્રોન પર જુદી જુદી તીવ્રતા ધરાવતા વિદ્યુતક્ષેત્ર લાગુ પાડીને ઈલેક્ટ્રોનની ઉર્જા બદલવામાં આવી હતી. ઈલેક્ટ્રોન મરક્યુરિના પરમાણુ સાથે અથડાઈને મરક્યુરિ પરમાણુઓને ઉર્જા પહોંચાડતા હતા. આવું ત્યારે જ થઈ શકે કે આપાત ઈલેક્ટ્રોનની ઉર્જા મરક્યુરિ પરમાણુના સ્તરમાં રહેલા ઈલેક્ટ્રોનની ઉર્જા અને તેની ઉપરના ખાલી સ્તરની ઉર્જાના તફાવત કરતાં, વધુ હોય (જુઓ આકૃતિ). દાખલા તરીકે, ઈલેક્ટ્રોન વડે ભરાયેલા Hg પરમાણુના ઉર્જા સ્તર અને ઉપરના ખાલી સ્તર વચ્ચેનો તફાવત 4.9 eV છે. જો 4.9 eV જેટલી કે તે કરતાં વધુ ઉર્જા ધરાવતો કોઈ ઈલેક્ટ્રોન મરક્યુરિ બાષ્પમાંથી પસાર થાય તો મરક્યુરિ પરમાણુમાંનો ઈલેક્ટ્રોન આ આપાત ઈલેક્ટ્રોનમાંથી ઉર્જાનું શોખણ કરી શકે અને ઉચ્ચ સુધી ઉત્તેજિત થઈ શકે [આકૃતિ (a)]. આ રીતે આપાત થઈને અથડાતા ઈલેક્ટ્રોનની ઉર્જા આટલી માગામાં ઘટે છે.



ત્યારપછી, આ ઉત્તેજિત ઈલેક્ટ્રોન વિકિરણનું ઉત્સર્જન કરીને ધરા અવસ્થામાં પાછો પડે છે.

ઉત્સર્જિત વિકિરણની તરંગલંબાઈ

$$\lambda = \frac{hc}{E} = \frac{6.625 \times 10^{-34} \times 3 \times 10^8}{4.9 \times 1.6 \times 10^{-19}} = 253 \text{ nm છે.}$$

પ્રત્યક્ષ માપનમાં ફ્રાન્ક અને હર્ટ્ઝને જણાયું કે મરક્યુરિના ઉત્સર્જન વર્ણપત્રમાં આ તરંગલંબાઈને અનુરૂપ રેખા હાજર છે. પરમાણુમાં નિશ્ચિત ઉર્જાવાળા સ્તરો અંગે બોલ્ડરના મૂળભૂત વિચાર અને ફોટોનના ઉત્સર્જનની પ્રક્રિયાની આ પ્રાયોગિક ચકાસણી માટે ફ્રાન્ક અને હર્ટ્ઝને 1925માં નોબેલ પ્રાઇઝ એનાયત થયું હતું.

### 12.5 હાઈડ્રોજન પરમાણુના રેખીય વર્ણપત્ર (THE LINE SPECTRA OF THE HYDROGEN ATOM)

બોલ્ડર મોડેલની ગ્રીશ સ્વીકૃતિ મુજબ, જ્યારે પરમાણુ  $n_i$  ક્વોન્ટમ અંકની ઉચ્ચ ઉર્જા અવસ્થામાંથી,  $n_f$  ( $n_f < n_i$ ) ક્વોન્ટમ અંકની નિભ ઉર્જા અવસ્થામાં સંકાંતિ કરે છે ત્યારે તેના ઉર્જા તફાવત જેટલી ઉર્જાનો ફોટોન ઉત્સર્જિત થાય છે, જેની આવૃત્તિ  $v_{if}$ નીચેના સૂત્ર પરથી મળે છે.

## પરમાણુઓ

$$h\nu_{if} = E_{n_i} - E_{n_f} \quad (12.20)$$

$E_{n_i}$  અને  $E_{n_f}$  માટે સમીકરણ (12.16) પરથી આપણને

$$h\nu_{if} = \frac{me^4}{8\epsilon_0^2 h^2} \left( \frac{1}{n_f^2} - \frac{1}{n_i^2} \right) \quad (12.21)$$

$$\text{અથવા } \nu_{if} = \frac{me^4}{8\epsilon_0^2 h^3} \left( \frac{1}{n_f^2} - \frac{1}{n_i^2} \right) \quad (12.22)$$

મળે છે. સમીકરણ (12.21) હાઈડ્રોજન પરમાણુના વર્ષાપટ માટે રીડર્ગનું સૂત્ર છે. આ સૂત્રમાં જો આપણો  $n_f = 2$  અને  $n_i = 3, 4, 5, \dots$  લઈએ તો તેનું સ્વરૂપ બામર શ્રેણી માટેના સમીકરણ (12.10) જેવું બને છે. રીડર્ગના અચળાંક  $R$ ની ઓળખ

$$R = \frac{me^4}{8\epsilon_0^2 h^3 c} \quad (12.23)$$

તરીકે કરી શકાય છે.

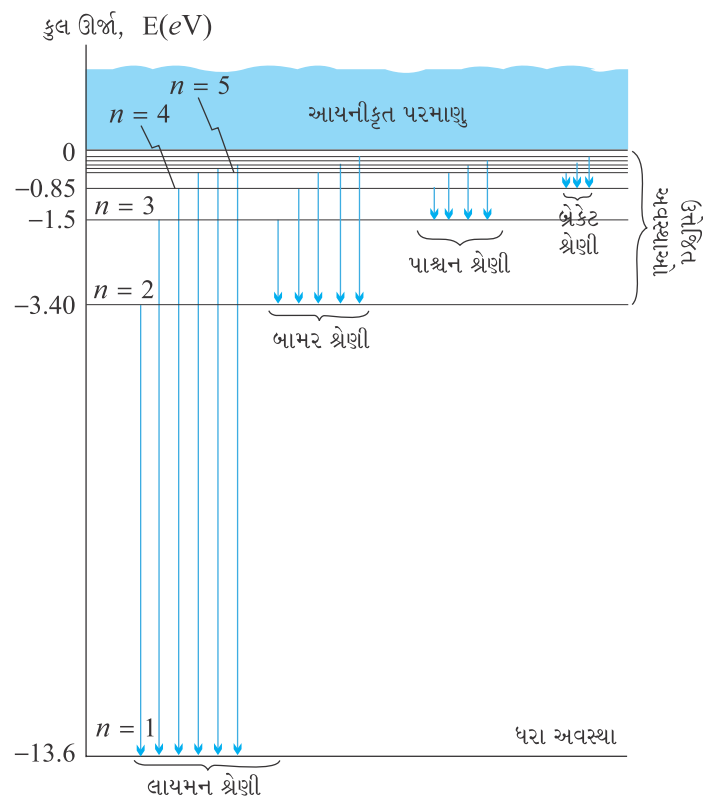
જો આપણો સમીકરણ (12.23)માં જુદા જુદા અચળાંકોના મૂલ્યો દાખલ કરીએ તો,

$$R = 1.03 \times 10^7 \text{ m}^{-1}$$

મળે છે. આ મૂલ્ય બામરના આનુભવિક સૂત્ર પરથી મળતા મૂલ્ય ( $1.097 \times 10^7 \text{ m}^{-1}$ )ની ખૂબ જ નજીક છે. રીડર્ગના અચળાંકના સૈદ્ધાંતિક અને પ્રાયોગિક મૂલ્યોની આ સમાનતાએ બોહ્ર મૌલેનને પ્રત્યક્ષ અને નોંધપાત્ર સર્વથન પુરું પાડ્યું.

$n_f$  અને  $n_i$  બંને પૂર્ણાંકો હોવાથી સમીકરણ (12.22) દર્શાવે છે કે વિવિધ પરમાણુ અવસ્થાઓ વચ્ચેની સંકાંતિઓમાં વિવિધ નિશ્ચિત આવૃત્તિઓના પ્રકાશનું ઉત્સર્જન થાય છે. હાઈડ્રોજન વર્ષાપટ માટે બામરનું સૂત્ર  $n_f = 2$  અને  $n_i = 3, 4, 5$  વગેરેને અનુરૂપ છે. બોહ્ર મૌલેના પરિણામોએ હાઈડ્રોજન પરમાણુ માટે બીજા પણ શ્રેણી વર્ષાપટો હોવાનું સૂચન કર્યું જેઓ  $n_f = 1$  અને  $n_i = 2, 3$  વગેરે,  $n_f = 3$  અને  $n_i = 4, 5$  વગેરેને અનુરૂપ શ્રેણીઓ અને તે જ પ્રમાણે આગળ બીજી શ્રેણીઓ માટે હોય. આવી શ્રેણીઓ સ્પેક્ટ્રોસ્કોપીક અભ્યાસોમાં જોવા મળી હતી અને તેઓ લાયમન, બામર, પાશ્ન, બ્રેકેટ અને ફંડ શ્રેણીઓ તરીકે ઓળખાય છે. આ શ્રેણીઓને અનુરૂપ ઇલેક્ટ્રોનની સંકાંતિઓ આફૂતિ 12.9માં દર્શાવી છે.

પરમાણુ વર્ષાપટોમાં જુદી-જુદી રંગીન પ્રકાશિત રેખાઓ ત્યારે ઉત્પન્ન થાય છે કે જ્યારે ઇલેક્ટ્રોન ઉચ્ચ ઊર્જા અવસ્થામાંથી નિભ ઊર્જા અવસ્થામાં કૂદી પડીને ફોટોનનું ઉત્સર્જન કરે છે. આ વર્ષાપટ-રેખાઓને ઉત્સર્જન રેખાઓ કહે છે. પરંતુ આ જ ઇલેક્ટ્રોનને નિભ ઊર્જા અવસ્થાથી ઉચ્ચ ઊર્જા અવસ્થામાં સંકાંતિ કરવા માટે જરૂરી ઊર્જા જેટલી જ ઊર્જા ધરાવતા ફોટોનને જો પરમાણુ શોષે તો એ કિયાને શોષણ કહે છે. આમ, જો સતત મૂલ્યો ધરાવતી આવૃત્તિઓનાં



આફૂતિ 12.9 ઊર્જા સ્તરો વચ્ચેની સંકાંતિથી રેખીય વર્ષાપટો ઉદ્ભવે છે.

## ભૌતિકવિજ્ઞાન

ફોટોનને અત્યંત ઓછી ઘનતાના વાયુમાંથી પસાર કરી, તેમનું સ્પેક્ટ્રોમીટર વડે વિશ્લેષણ કરવામાં આવે તો એક સંંગ વર્ષાપટમાં અપ્રકાશિત એવી શોધણ રેખાઓ જોવા મળે છે. અપ્રકાશિત રેખાઓ, વાયુના પરમાણુ વડે શોધાયેલી આવૃત્તિઓનું સૂચન કરે છે.

બોહરના મોડેલ વડે અપાયેલી હાઈડ્રોજન પરમાણુના વર્ષાપટની સમજૂતી એક ઉત્કૃષ્ટ સિદ્ધિ હતી, જેનાથી આધુનિક કવોન્ટમ સિદ્ધાંત તરફના વિકાસને પ્રોત્સાહન મળ્યું. 1922માં, બોહરને ભૌતિકવિજ્ઞાનનું નોબેલ પ્રાઇઝ અનેનાયત થયું હતું.

**ઉદાહરણ 12.6** રીડર્ગના સૂત્રનો ઉપયોગ કરી, હાઈડ્રોજન વર્ષાપટની લાયમન શ્રેણીની પ્રથમ ચાર વર્ષાપટ રેખાઓની તરંગલંબાઈઓની ગણતરી કરો.

ઉકેલ રીડર્ગનું સૂત્ર નીચે મુજબ છે,

$$hc/\lambda_{if} = \frac{me^4}{8\epsilon_0^2 h^2} \left( \frac{1}{n_f^2} - \frac{1}{n_i^2} \right)$$

લાયમન શ્રેણીની પ્રથમ ચાર રેખાઓની તરંગલંબાઈઓ  $n_i = 2, 3, 4, 5$  થી  $n_f = 1$  સંકાંતિઓને અનુરૂપ છે.

$$\frac{me^4}{8\epsilon_0^2 h^2} = 13.6 \text{ eV} = 21.76 \times 10^{-19} \text{ J}$$

આથી,

$$\lambda_{i1} = \frac{hc}{21.76 \times 10^{-19} \left( \frac{1}{1^2} - \frac{1}{n_i^2} \right)} \text{ m}$$

$$= \frac{6.625 \times 10^{-34} \times 3 \times 10^8 \times n_i^2}{21.76 \times 10^{-19} \times (n_i^2 - 1)} \text{ m} = \frac{0.9134 n_i^2}{(n_i^2 - 1)} \times 10^{-7} \text{ m}$$

$$= 913.4 n_i^2 / (n_i^2 - 1) \text{ Å}$$

$n_i = 2, 3, 4, 5$  અવેજ કરતાં આપણને  $\lambda_{21} = 1218 \text{ Å}$ ,  $\lambda_{31} = 1028 \text{ Å}$ ,  $\lambda_{41} = 974.3 \text{ Å}$  અને  $\lambda_{51} = 951.4 \text{ Å}$  મળે છે.

ઉદાહરણ 12.6

### 12.6 બોહરની કવોન્ટમીક્રરણની બીજી સ્વીકૃતિની દિ બ્રોગ્લીની સમજૂતી (DE BROGLIE'S EXPLANATION OF BOHR'S SECOND POSTULATE OF QUANTISATION)

બોહરે તેના પરમાણુના મોડેલમાં રજૂ કરેલી સ્વીકૃતિઓમાં સૌથી વધુ કોયડારૂપ તેની બીજી સ્વીકૃતિ છે. તે જણાવે છે કે ન્યુક્લિયસની આસપાસ કક્ષીય ભ્રમણ કરતા ઈલેક્ટ્રોનનું કોણીય વેગમાન કવોન્ટમીકૃત (Quantised) છે. (એટલે કે,  $L_n = nh/2\pi$ ;  $n = 1, 2, 3 \dots$ ). કોણીય વેગમાનને  $h/2\pi$ ના પૂર્ણાંક ગુણાંક ધરાવતાં મૂલ્યો જ શા માટે હોવાં જોઈએ? બોહરે તેનું મોડેલ રજૂ કર્યું તેના દસ વર્ષ બાદ, 1923માં ફેંચ ભૌતિકવિજ્ઞાની લૂઠ દિ બ્રોગ્લી (Louis de Broglie) એ આ કોયડાનો ઉકેલ જણાવ્યો.

પ્રકરણ-11માં આપણે શીખ્યા છીએ કે દિ બ્રોગ્લીના અધિતર્ક મુજબ, ઈલેક્ટ્રોન જેવાં દવ્ય કણોને પણ તરંગ પ્રકૃતિ (તરંગ સ્વભાવ) હોય છે. પણીથી 1927માં, સી. જે. ડેવિસન અને એલ. એચ. ગર્મર

## પરમાણુઓ

દ્વારા ઈલેક્ટ્રોનની તરંગ પ્રકૃતિની પ્રાયોગિક ચકાસણી થઈ હતી. લૂધી ડિ બ્રોગ્લીએ એવી દલીલ કરી કે બોહ્યરના સૂચવ્યા મુજબ વર્તુળાકાર કક્ષામાંના ઈલેક્ટ્રોનને દ્વય તરંગ (Particle Wave) તરીકે જોવું જોઈએ. દોરી પર પ્રસરતા તરંગોની જેમ, દ્વય તરંગો પણ અનુનાદ સ્થિતિઓમાં સ્થિત તરંગો ઉપજાવે છે. ધોરણ XIના ભૌતિકવિજ્ઞાનના પાઠ્યપુસ્તકના પ્રકરણ-15 પરથી, આપણે જાણીએ છીએ કે, જ્યારે દોરીને ખેંચીને છોડી દેવામાં આવે (આંચકો આપવામાં આવે-Plucked) ત્યારે મોટી સંઘામાં તરંગલંબાઈઓ ઉત્તેજિત થાય છે. આમ છતાં, જે તરંગો માટે છેડાઓ પર નિષ્પંદ બિંદુઓ (Nodes) હોય અને સ્થિત તરંગો રચતા હોય તેવા જ તરંગો ટકી રહે છે. આનો અર્થ એ કે દોરીમાં સ્થિત તરંગો ત્યારે રચાય છે કે જ્યારે તરંગો દોરી પર જતાં અને પાછા આવતાં કાપેલું કુલ અંતર, એક તરંગલંબાઈ, બે તરંગલંબાઈ અથવા તરંગલંબાઈના કોઈ પણ પૂર્ણાક ગણું હોય. બીજી તરંગલંબાઈઓ ધરાવતાં તરંગો પરાવર્તન થતાં તેમની પોતાની સાથે વ્યતિકરણ અનુભવે છે અને તેમના કંપવિસ્તાર ઝડપી ઘટીને શૂન્ય થાય છે.  $r_n$  ત્રિજ્યાની  $n$ -મી વર્તુળાકાર કક્ષામાં ભ્રમણ કરતા ઈલેક્ટ્રોન માટે, કુલ અંતર કક્ષાના પરિધ 2 $\pi r_n$  જેટલું છે.

$$\text{આમ}, 2\pi r_n = n\lambda, \quad n = 1, 2, 3, \dots \quad (12.24)$$

આફ્ટિ 12.10,  $n = 4$  માટેની વર્તુળાકાર કક્ષા પરનું સ્થિત દ્વય તરંગ દર્શાવે છે, એટલે કે  $2\pi r_n = 4\lambda$ . જ્યાં,  $\lambda$  એ  $n$ -મી કક્ષામાં ભ્રમણ કરતાં ઈલેક્ટ્રોનની ડિ બ્રોગ્લી તરંગલંબાઈ છે. પ્રકરણ-11 પરથી આપણને  $\lambda = h/p$  મળે છે. જ્યાં,  $p$  એ ઈલેક્ટ્રોનના વેગમાનનું મૂલ્ય છે. જો ઈલેક્ટ્રોનની ઝડપ પ્રકાશની ઝડપ કરતાં ઘણી ઓછી હોય તો વેગમાન  $mv_n$  છે. આમ,  $\lambda = h/mv_n$ . સમીકરણ (12.24) પરથી આપણને  $2\pi r_n = nh/mv_n$  અથવા  $mv_n r_n = nh/2\pi$  મળે છે.

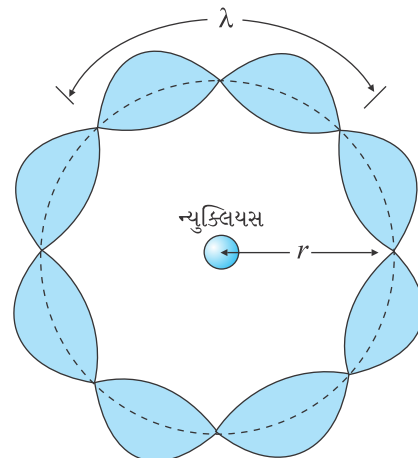
આ જ ઈલેક્ટ્રોનના કોઇથી વેગમાન માટે બોહ્યરે સૂચવેલ કવોન્ટમ શરત [સમીકરણ (12.13)] છે. પરિષ્ઠે 12.5માં આપણે જોયું છે કે હાઈડ્રોજન પરમાણુમાં નિશ્ચિત કક્ષાઓ અને ઊર્જા સ્તરોની સમજૂતીમાં આ સમીકરણ પાયારૂપ છે. આમ, ડિ બ્રોગ્લી અધિતર્ક, કક્ષામાં ભ્રમણ કરતા ઈલેક્ટ્રોનના કોઇથી વેગમાનના કવોન્ટમીકરણ માટેની બોહ્યરની બીજી સ્વીકૃતિની સમજૂતી આપી. કવોન્ટમીકૃત ઈલેક્ટ્રોન કક્ષાઓ અને ઊર્જા અવસ્થાઓ ઈલેક્ટ્રોનના તરંગ સ્વરૂપના કારણે છે અને માત્ર અનુનાદિત સ્થિત તરંગો ટકી શકે છે.

ગતિપથ અંગેનું પ્રચલિત ચિત્ર (સૂર્યની આસપાસ ગ્રહની જેમ ન્યુક્લિયસની આસપાસ કક્ષામાં ભ્રમણ કરતો ઈલેક્ટ્રોન) ધરાવતું બોહ્યરનું મોડેલ હાઈડ્રોજન જેવા પરમાણુઓના\* મોટાભાગનાં લક્ષણો ખાસ કરીને ઉત્સર્જિત અથવા પસંદગીયુક્ત શોષણ કરેલ વિકિરણની આવૃત્તિઓની સાચી આગાહી કરે છે. આમ છતાં આ મોડેલની ઘણી મર્યાદાઓ છે.

કટલીક આ મુજબ છે :

- બોહ્યર મોડેલ હાઈડ્રોજન જેવાં પરમાણુઓને લાગુ પડે છે. તેને ફક્ત બે ઈલેક્ટ્રોન ધરાવતા હિલિયમ જેવા પરમાણુઓ સુધી પણ લાગુ પાડી શકતું નથી. હાઈડ્રોજન જેવાં પરમાણુઓ માટેનાં બોહ્યરના મોડેલની પદ્ધતિએ જ એક કરતાં વધુ ઈલેક્ટ્રોનવાળા પરમાણુઓના વિશ્લેષણનો પ્રયાસ કરવામાં આવ્યો હતો પરંતુ તેને કોઈ સફળતા મળી ન હતી. દરેક ઈલેક્ટ્રોન ધન વિદ્યુતભારિત ન્યુક્લિયસની સાથે જ નહિ પણ બીજા બધા ઈલેક્ટ્રોન સાથે પણ

\* હાઈડ્રોજન જેવા પરમાણુઓ કંઈક ધન વિદ્યુતભાર +Ze ધરાવતા ન્યુક્લિયસ અને એક ઈલેક્ટ્રોનના બનેલા છે, જ્યાં Z પ્રોટોનની સંખ્યા છે. તેના ઉદાહરણો તરીકે હાઈડ્રોજન પરમાણુ, સીંગલી આયોનાઇઝેડ હિલિયમ અને ડબ્લી આયોનાઇઝેડ લિથિયમ વગેરે છે. આ પરમાણુમાં વધારે જટિલ એવી ઈલેક્ટ્રોન આંતરક્રિયા અસ્તિત્વ ધરાવતી નથી.



આફ્ટિ 12.10 વર્તુળાકાર કક્ષા પર સ્થિત તરંગ દર્શાવે છે. જ્યાં, ચાર ડિ બ્રોગ્લી તરંગલંબાઈઓ કક્ષાના પરિધમાં બંધબેસતી છે.

આંતરકिया કરે છે તે હકીકતમાં જ મુશ્કેલી રહેલી છે. બોહ્ર મોડેલની રચનામાં ધન વિદ્યુતભારિત ન્યુક્લિયસ અને ઈલેક્ટ્રોન વચ્ચેનું વિદ્યુતબળ સંકળાપેલું છે. તે બહુ ઈલેક્ટ્રોન પરમાણુઓમાં અનિવાર્યપણે દેખાતા ઈલેક્ટ્રોન-ઈલેક્ટ્રોન વચ્ચેના વિદ્યુતબળોનો સમાવેશ કરતું નથી.

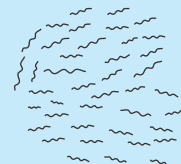
(ii) બોહ્ર મોડેલ, હાઈડ્રોજન પરમાણુઓ વડે ઉત્સર્જિત પ્રકાશની આવૃત્તિઓનું સાચી રીતે પુર્વાનુમાન કરે છે, તેમ છતાં આ મોડેલ વર્ણપતમાં આવૃત્તિઓની સાપેક્ષ તીવ્રતાઓ સમજાવી શકતું નથી. હાઈડ્રોજનના ઉત્સર્જિત વર્ણપતમાં, કેટલીક દશ્ય આવૃત્તિઓની તીવ્રતા ઓછી છે અને બીજની તીવ્રતા વધુ છે. શા માટે? પ્રાયોગિક અવલોકનો દર્શાવે છે કે કેટલીક સંકાંતિઓ અન્ય કરતાં વધારે માનીતી (Favoured) છે. બોહ્રનું મોડેલ તીવ્રતાના ફેરફારો સમજાવવા માટે અશક્ત છે.

બોહ્રનું મોડેલ પરમાણુનું મનોહર ચિત્ર રજૂ કરે છે અને તેને જટિલ પરમાણુઓ માટે લાગુ પાડી શકતું નથી. જટિલ પરમાણુઓ માટે ક્વોન્ટમ યંત્રશાસ્ત્ર પર આધારિત મૂળભૂત રીતે અલગ પડતા નવા વાદનો ઉપયોગ કરવો પડે છે.

### લેસર પ્રકાશ (LASER LIGHT)

ભીડવાળા બજાર અથવા રેલ્વે સ્ટેશનનો વિચાર કરો જેનાં એક દરવાજેથી દાખલ થઈને લોકો બધી દિશામાં જતા હોય. તેમનાં પગલાં અસ્તવ્યસ્ત હોય છે અને તેમની વચ્ચે કોઈ કળા સંબંધ હોતો નથી. બીજ તરફ, મોટી સંઘાના સૈનિકો નિયંત્રિક કૂચમાં હોય, તેનો વિચાર કરો. તેમનાં પગલાં (કદમો) વચ્ચે ખૂબ સારો સંબંધ છે. અહીંની આવૃત્તિ જુઓ.

આ તફાવત, મીણબંની કે બલ્બ જેવા સામાન્ય ઉદ્ગમ દ્વારા ઉત્સર્જિત પ્રકાશ અને લેસર વડે ઉત્સર્જિત પ્રકાશ વચ્ચેના તફાવત જેવો છે. LASER એ Light Amplification by Stimulated Emission of Radiationનું ટૂંકું સ્વરૂપ છે. 1960માં તેની શરૂઆતથી વિકાસ થતાં તે વિજ્ઞાન અને ટેકનોલોજીના દરેક ક્ષેત્રમાં દાખલ થેયેલ છે. ભૌતિકવિજ્ઞાન, રસાયણવિજ્ઞાન, જીવવિજ્ઞાન, ઔષધવિજ્ઞાન, શસ્ત્રકિયા (Surgery), ઈજનેરી વગેરેમાં તેના ઉપયોગો જણાયા છે. 0.5 mW પાવર જેવા ઓછા પાવરના લેસર પેન્સિલ લેસર્સ કહેવાય છે અને તેઓ દર્શક (Pointer) તરીકે વપરાય છે. જુદા-જુદા પાવરના



(a) બલ્બમાંથી આવતો પ્રકાશ



(b) લેસર પ્રકાશ

લેસર પણ હોય છે, જેમાંથી કેટલાક આંખની અથવા હોજરી (Stomach)માંની ગ્રંથિની નાજુક શસ્ત્રકિયા માટે યોગ્ય છે. અંતમાં, કેટલાક લેસર સ્ટીલને કાપી શકે કે કાયમી જોડાણ (Welding) કરી શકે તેવા હોય છે.

ઉદ્ગમમાંથી પ્રકાશ તરંગોના પેકેટ (Packets) સ્વરૂપે ઉત્સર્જિત થાય છે. સામાન્ય ઉદ્ગમમાંથી આવતો પ્રકાશ ઘણી તરંગલંબાઈઓનું મિશ્રણ ધરાવે છે. વળી જુદા જુદા તરંગો વચ્ચે કોઈ કળા-સંબંધ પણ હોતો નથી. તેથી આવો પ્રકાશ, કોઈ છિદ્રમાંથી પસાર કરવામાં આવે તો પણ, ઝડપથી ફેલાઈ જાય છે અને કિરણાવલિનું પરિમાણ અંતર સાથે ઝડપથી વધતું જાય છે. લેસર પ્રકાશની બાબતમાં, દરેક પેકેટની તરંગલંબાઈ લગભગ સમાન હોય છે. વળી, તરંગોના પેકેટની સરેરાશ લંબાઈ ઘણી વધારે હોય છે. આનો અર્થ એ છે કે લાંબા સમયગાળા સુધી ઘણો સારો કળા-સંબંધ હોય છે. આના પરિણામે લેસર કિરણાવલિનું ફેલાઈ જવું ઘણું ઘટ્ટી જાય છે.

જો ઉદ્ગમમાં N પરમાણુઓ હોય અને દરેક I તીવ્રતાનો પ્રકાશ ઉત્સર્જિત કરતા હોય તો સામાન્ય ઉદ્ગમ વડે ઉત્પન્ન થતી તીવ્રતા NIના સમપ્રમાણમાં હોય છે, જ્યારે લેસર ઉદ્ગમમાં તે  $N^2$  ને સમપ્રમાણમાં છે. N ખૂબ જ મોટી સંઘા છે તેમ વિચારતાં આપણે જોઈ શકીએ છીએ કે સામાન્ય ઉદ્ગમમાંથી આવતા પ્રકાશ કરતાં લેસરમાંથી આવતો પ્રકાશ ખૂબ તીવ્ર હોય છે.

જ્યારે એપોલો મિશન (Apollo Mission)ના અવકાશયાત્રીઓ ચંદ્ર પર પહોંચ્યા ત્યારે તેમણે પૃથ્વી તરફ રહે તે રીતે એક અરિસો તેની સપાટી પર મૂક્યો. પછી પૃથ્વી પરના વિજ્ઞાનીઓએ તીવ્ર લેસર કિરણ તેના પર મોકલ્યું જે અરિસા વડે પરાવર્તિત થઈને પૃથ્વી પર પાછું મેળવવામાં આવ્યું હતું. પરાવર્તિત લેસર કિરણનું પરિમાણ (Size) અને યાત્રાનો જવા-આવવાનો કુલ સમય માપવામાં આવ્યો હતો. આ પરથી (a) લેસર કિરણના અત્યંત ઓછા ફેલાવાનું અને (b) પૃથ્વીથી ચંદ્રના અંતરનું ચોક્સાઈથી માપન થયું હતું.

## સારાંશ

- પરમાણુ, સમગ્રપણે વિદ્યુતની દર્શિએ તટસ્થ છે અને તેથી સમાન માત્રામાં/જથ્થામાં ધન અને ઋણ વિદ્યુતભારો ધરાવે છે.
- થોમસનના મોટેલમાં, પરમાણુ એ ધન વિદ્યુતભારોનું ગોળાકાર વાદળ છે અને તેમાં ઈલેક્ટ્રોન જડાયેલા (Embedded) છે.
- રધરફર્કના મોટેલમાં પરમાણુનું લગભગ બધું દળ અને બધો જ ધન વિદ્યુતભાર સૂક્ષ્મ ન્યુક્લિયસમાં (જે પરમાણુના પરિમાણના દસ હજારમાં ભાગનું પરિમાણ ધરાવે છે તેમાં) કેન્દ્રિત થયેલ છે અને ઈલેક્ટ્રોન તેની આસપાસ બ્રમણ કરે છે.
- રધરફર્ક ન્યુક્લિયર મોટેલને પરમાણુનું બંધારણ સમજાવવામાં બે મુખ્ય મુશ્કેલીઓ પડે છે.  
(a) તે એવું પૂર્વાનુમાન કરે છે કે પરમાણુઓ અસ્થાયી છે કારણકે ન્યુક્લિયસની ફરતે બ્રમણ કરતા પ્રવેગિત ન્યુક્લિયસ સર્પિલ ગતિ કરીને ન્યુક્લિયસમાં પડી જવા જોઈએ. આ બાબત દ્વયના સ્થાયીપણાનો વિરોધ કરે છે. (b) વિવિધ તત્વોના પરમાણુઓના લાક્ષણિક રેખીય વર્ણપત્રોને તે સમજાવી શકતું નથી.
- મોટા ભાગના તત્વના પરમાણુઓ સ્થાયી છે અને લાક્ષણિક વર્ણપત્રનું ઉત્સર્જન કરે છે. વર્ણપત્ર અલગ અલગ સમાંતર રેખાઓના સમૂહનો બનેલો છે અને તેને રેખીય વર્ણપત્ર કહે છે. તે પરમાણુના બંધારણ અંગેની ઉપયોગી માહિતી ધરાવે છે.
- પરમાણુવક હાઈડ્રોજન રેખીય વર્ણપત્રનું ઉત્સર્જન કરે છે જે વિવિધ શ્રેષ્ઠીઓનો બનેલો છે.  
લાયમન શ્રેષ્ઠી :  $v = Rc \left( \frac{1}{1^2} - \frac{1}{n^2} \right); n = 2, 3, 4 \dots$   
બામર શ્રેષ્ઠી :  $v = Rc \left( \frac{1}{2^2} - \frac{1}{n^2} \right); n = 3, 4, 5 \dots$   
પાશ્નન શ્રેષ્ઠી :  $v = Rc \left( \frac{1}{3^2} - \frac{1}{n^2} \right); n = 4, 5, 6 \dots$   
બ્રેક્ટ શ્રેષ્ઠી :  $v = Rc \left( \frac{1}{4^2} - \frac{1}{n^2} \right); n = 5, 6, 7 \dots$   
ફંડ શ્રેષ્ઠી :  $v = Rc \left( \frac{1}{5^2} - \frac{1}{n^2} \right); n = 6, 7, 8 \dots$

- પરમાણુ વડે ઉત્સર્જિત રેખીય વર્ણપત્ર તેમજ પરમાણુઓના સ્થાયીપણાને સમજાવવા માટે નીલ્સ બોલ્ડરે, હાઈડ્રોજન જેવા (એક ઈલેક્ટ્રોન ધરાવતા) પરમાણુઓ માટે એક મોટેલ સૂચયું. તેણે ઋણ સ્વીકૃતિઓ અપનાવી અને કવોન્ટમ યંત્રશાસ્ત્રનો પાયો નાંખ્યો:  
(a) હાઈડ્રોજન પરમાણુમાં ઈલેક્ટ્રોન અમુક નિશ્ચિત સ્થાયી કક્ષાઓ (જેમને સ્થિર (Stationary) કક્ષાઓ કહે છે)માં વિકિરણ ઊર્જાના ઉત્સર્જન વિના બ્રમણ કરે છે.  
(b) સ્થાયી કક્ષાઓ એ છે કે જેમાં કોણીય વેગમાન  $h/2\pi n$  પૂર્ણાંક ગણું છે (બોલ્ડરની કવોન્ટમીકરણની શરત). એટલે કે  $L = nh/2\pi$  જ્યાં  $n$  એ પૂર્ણાંક છે જેને મુખ્ય કવોન્ટમ અંક કહે છે.  
(c) ત્રીજી સ્વીકૃતિ જણાવે છે કે ઈલેક્ટ્રોન તેની કોઈ એક નિશ્ચિત, વિકિરણનું ઉત્સર્જન ન કરતી હોય તેવી, કક્ષામાંથી બીજી ઓછી ઊર્જા ધરાવતી કક્ષામાં સંકાંતિ કરી શકે છે. જ્યારે તે આમ કરે, ત્યારે એક ફોટોન ઉત્સર્જિત થાય છે જેની ઊર્જા, પ્રારંબિક અને અંતિમ અવસ્થાઓની, ઊર્જાના તફાવત જેટલી હોય છે. આ પરથી ઉત્સર્જિત ફોટોનની આવૃત્તિ

$$hv = E_i - E_f$$

દ્વારા મળે છે. પરમાણુ જે આવૃત્તિનું ઉત્સર્જન કરે છે તે જ આવૃત્તિના વિકિરણનું શોષ્ણા કરે છે અને તે ડિસામાં ઈલેક્ટ્રોન  $n$ ના ઊંચા મૂલ્યની કક્ષામાં સંકાંતિ કરે છે.

$$E_i + hv = E_f$$

8. કોણીય વેગમાનના ક્વોન્ટમીકરણની શરતના પરિણામે ઈલેક્ટ્રોન ન્યુક્લિયસની ફરતે ફક્ત અમુક નિશ્ચિત ત્રિજ્યાઓની કક્ષામાં જ બ્રમણ કરે છે. હાઈડ્રોજન પરમાણુ માટે આ ત્રિજ્યાઓ  $r_n = \left(\frac{n^2}{m}\right) \left(\frac{h}{2\pi}\right)^2 \left(\frac{4\pi\epsilon_0}{e^2}\right)$  વડે અપાય છે.
- કુલ ઊર્જાનું પણ ક્વોન્ટમીકરણ થયેલ છે.
- $$E_n = -\frac{me^4}{8\epsilon_0^2 h^2 n^2}$$
- $$= -13.6 \text{ eV}/n^2$$
- $n = 1$  અવસ્થાને ધરા અવસ્થા કહે છે. હાઈડ્રોજન પરમાણુમાં ધરા અવસ્થાની ઊર્જા  $-13.6 \text{ eV}$  છે.  $n > 1$  ઊંચા મૂલ્યો (ન > 1) ઉત્તેજિત અવસ્થાઓને અનુરૂપ છે. પરમાણુઓ, બીજા પરમાણુઓ કે ઈલેક્ટ્રોન સાથેની અથડામણોથી અથવા યોગ્ય આવૃત્તિના ફોટોનના શોષણથી આ ઊંચી અવસ્થાઓ સુધી ઉત્તેજિત થાય છે.
9. તરંગ-કક્ષાની દૈત્ય પ્રકૃતિનો ઉપયોગ કરી ઈલેક્ટ્રોનને  $h/mv$  જેટલી તરંગલંબાઈ છે એવા ડિબ્રોગ્લીના અધિતર્ક વડે બોહ્લરની ક્વોન્ટમીકૃત કક્ષાઓની સમજૂતી આપી શકાઈ હતી. કક્ષાઓ, વર્તુળાકાર સ્થિત તરંગોને અનુરૂપ છે, જેમાં કક્ષાનો પરિધ તરંગલંબાઈના પૂર્ણાક જેટલો હોય છે.
10. બોહ્લરનું મોડેલ માત્ર હાઈડ્રોજન જેવા (એક ઈલેક્ટ્રોન ધરાવતા) પરમાણુઓને જ લાગુ પડે છે. તે હિલિયમ જેવા બે ઈલેક્ટ્રોન ધરાવતા પરમાણુઓને પડા લાગુ પાડી શકતું નથી. આ મોડેલ, હાઈડ્રોજન જેવા પરમાણુઓ વડે ઉત્સર્જિત આવૃત્તિઓની સાપેક્ષ તીવ્રતાઓને પણ સમજાવી શકતું નથી.

### ગહન વિચારણાના મુદ્દાઓ

- થોમસન અને રધરફર્ડ બંનેનાં મોડેલ એક અસ્થાયી તત્ત્વ રચે છે. થોમસનનું મોડેલ સ્થિત વિદ્યુતની દાસ્તિએ અસ્થાયી છે, જ્યારે રધરફર્ડનું મોડેલ કક્ષામાં બ્રમણ કરતા ઈલેક્ટ્રોન દ્વારા વિદ્યુતયુંબીય વિકિરણના ઉત્સર્જનને કારણે અસ્થાયી છે.
- બોહ્લર કોણીય વેગમાનનું ક્વોન્ટમીકરણ કર્યું (બીજી સ્વીકૃતિ) અને બીજી કોઈક રાશિનું કેમ ન કર્યું? એ નોંધો કે હને કોણીય વેગમાનનાં પરિમાણ છે, અને વર્તુળાકાર કક્ષાઓ માટે કોણીય વેગમાન એ બહુ સુસંગત રાશિ છે. આથી બીજી સ્વીકૃતિ તદ્દન સ્વાભાવિક છે.
- હાઈડ્રોજન પરમાણુના બોહ્લર મોડેલમાં કક્ષાનું ચિત્ર અનિશ્ચિતતાના સિદ્ધાંત (Uncertainty Principle) સાથે સુસંગત ન હતો. તેને સ્થાને અર્વાચિન ક્વોન્ટમ યંત્રશાસ્ત્રનો સ્વીકાર થયો કે જેમાં બોહ્લરની કક્ષાઓ એવા વિસ્તારો છે કે જ્યાં ઈલેક્ટ્રોનને શોધવાની સંભાવના (Probability) વધુ છે.
- સૂર્યમંડળની પરિસ્થિતિમાં ગ્રહ-ગ્રહ વચ્ચેનાં ગુરુત્વ બળો, સૂર્યના દરેક ગ્રહ પરના બળ કરતાં ઘણા નાનાં છે (કારણ કે સૂર્યનું દળ કોઈ પણ ગ્રહના દળ કરતાં ઘણું વધારે છે.) આથી વિપરિત ઈલેક્ટ્રોન-ઈલેક્ટ્રોન વચ્ચેનું વિદ્યુતબળ, ઈલેક્ટ્રોન-ન્યુક્લિયસ વિદ્યુતબળ સાથે સરખાવી શકાય તેવા માનનું હોય છે, કારણ કે વિદ્યુતભારો અને અંતરો માનના એકસરખા કર્મનાં છે. આ કારણથી ગ્રહ - જેવા ઈલેક્ટ્રોન સાથેનું બોહ્લર મોડેલ બહુ-ઈલેક્ટ્રોન પરમાણુઓને લાગુ પાડી શકતું નથી.
- બોહ્લરે, જેમાં ઈલેક્ટ્રોન વિકિરણ ઉત્સર્જિત કરતા નથી એવી વિશિષ્ટ કક્ષાઓની સ્વીકૃતિ અપનાવીને ક્વોન્ટમ સિદ્ધાંતનો પાયો નાંખ્યો. બોહ્લરનું મોડેલ માત્ર એક ક્વોન્ટમ અંક  $n$  નો સમાવેશ કરે છે. ક્વોન્ટમ યંત્રશાસ્ત્ર તરીકે ઔળખાતો નવો સિદ્ધાંત બોહ્લરની સ્વીકૃતિનું

સમર્થન કરે છે. આમ છતાં, કવોન્ટમ યંત્રશાસ્ત્રમાં (જે વધુ વ્યાપકપણે સ્વીકારાયું છે, તેમાં), આપેલ ઊર્જા સ્તર માત્ર એક  $J$  કવોન્ટમ અવસ્થાને અનુરૂપ નહિ હોય. દાખલા તરીકે, કોઈ અવસ્થા ચાર કવોન્ટમ અંકો ( $n, l, m$  અને  $d$ ) દ્વારા લાક્ષ્ણિક બને છે, પરંતુ (હાઈડ્રોજન પરમાણુની જેમ) શુદ્ધ કુલંબ સ્થિતિમાન માટે ઊર્જા ફક્ત  $n$  પર આધાર રાખે છે.

6. બોહ્રના મોડેલમાં, સામાન્ય પ્રચલિત અપેક્ષા કરતાં વિન્દુ, ઈલેક્ટ્રોનની તેની કક્ષામાંના બ્રમણની આવૃત્તિને વર્ણપટની રેખાની આવૃત્તિ સાથે કોઈ સંબંધ નથી. રેખાની આવૃત્તિ બે કક્ષીય ઊર્જાઓના તફાવત ભાગ્યા  $h$  જેટલી છે. આમ છતાં, મોટા કવોન્ટમ અંકો વચ્ચેની સંકાંતિઓ ( $n$  થી  $n - 1, n$  ઘણો મોટો) માટે તેઓ બંને અપેક્ષા મુજબ એક જ બની જાય છે.
7. બોહ્રનું કેટલાક પ્રચલિત અને કેટલાક અર્વાચિન બૌતિકવિજ્ઞાનના જ્યાલો પર આધારિત અર્ધ-પ્રચલિત (Semi Classical) મોડેલ, સાદામાં સાદા હાઈડ્રોજન જેવા પરમાણુઓનું સાચું ચિત્ર રજૂ કરતું નથી. સાચું ચિત્ર કવોન્ટમ યંત્રશાસ્ત્રની બાબત છે જે બોહ્ર મોડેલ કરતાં ઘણી મૂળભૂત રીતે જુદું પેઢ છે. પણ તો પછી જો બોહ્ર મોડેલ તદ્દન સાચું ન હોય તો આપણો તેની ચિંતા શા માટે કરીએ છીએ ? આ બધું છતાં બોહ્ર મોડેલને ઉપયોગી બનાવતાં કારણો આ છે :
  - (i) મોડેલ માત્ર ત્રણ સ્વીકૃતિઓ પર આધારિત છે પણ હાઈડ્રોજન વર્ણપટનાં લગભગ બધાં સામાન્ય લક્ષણોને સમજાવે છે.
  - (ii) મોડેલમાં આપણે પ્રચલિત બૌતિકવિજ્ઞાનમાં શીખ્યા હોઈએ તેવા ઘણા જ્યાલોને સમાવેલા છે.
  - (iii) એક સૈદ્ધાંતિક બૌતિકવિજ્ઞાનીએ, કોઈકવાર કોયડાના ઉકેલના અભિગમમાંની કેટલીક મુશ્કેલીઓ, કેવી રીતે શબ્દશ : અવગણવી જોઈએ કે જેથી બીજા કેટલાંક પૂર્વાનુમાન કરવાની આશા રાખી શકાય, તે આ મોડેલ દર્શાવે છે. જો મોડેલ કે સિદ્ધાંતનાં આ પૂર્વાનુમાન પ્રયોગ સાથે સંમત થાય તો, સિદ્ધાંતવાદીએ જે મુશ્કેલીઓને અવગણી હતી તેને તાર્કિક રીતે સમજાવવાની આશા ગમે તેમ કરીને રાખવી જ જોઈએ.

## સ્વાધ્યાય

**12.1** દરેક વિધાનને અંતે આપેલ શબ્દ/શબ્દ સમૂહોમાંથી સાચો વિકલ્પ પસંદ કરો :

- (a) થોમસનના મોડેલમાં પરમાણુનું પરિમાણ, રધરફર્ડના મોડેલમાં પરમાણુના પરિમાણ ..... છે. (કરતાં ઘણું મોટું / થી જુદું નથી / કરતાં ઘણું નાનું)
- (b) ..... ની ધરા અવસ્થામાં ઈલેક્ટ્રોન સ્થાયી સંતુલનમાં છે જ્યારે ..... માં ઈલેક્ટ્રોન હંમેશાં ચોખું (Net) બળ અનુભવે છે. (થોમસન મોડેલ / રધરફર્ડ મોડેલ)
- (c) ..... પર આધારિત પ્રચલિત પરમાણુનું ભાગ્ય જ પડી ભાંગવાનું છે. (થોમસન મોડેલ / રધરફર્ડ મોડેલ)
- (d) ..... માં પરમાણુ લગભગ સતત દળ વિતરણ ધરાવે છે પરંતુ ..... માં પરમાણુ ખૂબ જ અસતત દળ વિતરણ ધરાવે છે. (થોમસન મોડેલ / રધરફર્ડ મોડેલ)
- (e) ..... માં પરમાણુનો ધન વિદ્યુતભારિત વિભાગ લગભગ બધું દળ ધરાવે છે. (રધરફર્ડ મોડેલ / બંને મોડેલ)

**12.2** ધારો કે તમને આલ્ક્રો-કણ પ્રક્રિયાનો પ્રયોગ સુવર્ણના વરખને સ્થાને ઘન (Solid) હાઈડ્રોજન વાપરીને કરવાની તક આપવામાં આવે છે. (હાઈડ્રોજન 14 K થી નીચા તાપમાને ઘન હોય છે) તમે કેવાં પરિણામોની અપેક્ષા રાખશો ?

- 12.3** વર्जीપट રેખાઓની પાશન શ્રેણીમાં ટૂંકામાં ટૂંકી કઈ તરંગલંબાઈ હાજર છે ?
- 12.4** એક પરમાણુમાં  $2.3 \text{ eV}$  તફાવત બે ઊર્જા સ્તરોને જુદા પાડે છે. જ્યારે પરમાણુ ઉચ્ચ સ્તરથી નિભસ્તર પર સંકાંતિ કરે ત્યારે ઉત્સર્જિત વિકિરણની આવૃત્તિ કેટલી હશે ?
- 12.5** હાઇડ્રોજન પરમાણુની ધરા અવસ્થાની ઊર્જા  $-13.6 \text{ eV}$  છે. આ અવસ્થામાં ઈલેક્ટ્રોનની ગતિઊર્જા અને સ્થિતિઊર્જા કેટલી હશે ?
- 12.6** પ્રારંભમાં ધરા સ્થિતિમાં રહેલો હાઇડ્રોજન પરમાણુ એક ફોટોનનું શોષણ કરે છે, જે તેને  $n = 4$  સ્તર સુધી ઉત્સર્જિત કરે છે. આ ફોટોનની આવૃત્તિ અને તરંગલંબાઈ શોધો.
- 12.7** (a) બોહ્ઝર મોડેલનો ઉપયોગ કરીને  $n = 1, 2$  અને  $3$  સ્તરોમાં હાઇડ્રોજન પરમાણુમાંના ઈલેક્ટ્રોનની ઝડપની ગણતરી કરો. (b) આ દરેક સ્તર માટે કક્ષીય આવર્તકાળ શોધો.
- 12.8** હાઇડ્રોજન પરમાણુની સૌથી અંદરની ઈલેક્ટ્રોન કક્ષાની ત્રિજ્યા  $5.3 \times 10^{-11} \text{ m}$  છે.  $n = 2$  અને  $n = 3$  કક્ષાઓની ત્રિજ્યાઓ કેટલી હશે ?
- 12.9** ઓરડાના તાપમાને  $12.5 \text{ eV}$ ની ઈલેક્ટ્રોન કિરણાવલિ વાયુરૂપ હાઇડ્રોજન પર મારો ચલાવવા માટે વપરાય છે. તરંગલંબાઈઓની કઈ શ્રેણી(ઓ) ઉત્સર્જિત થશે ?
- 12.10** બોહ્ઝર મોડેલ અનુસાર, સૂર્યની આસપાસ  $3 \times 10^4 \text{ m/s}$ ની ઝડપથી  $1.5 \times 10^{11} \text{ m/s}$ ની ત્રિજ્યા ધરાવતી કક્ષામાંના પૃથ્વીના ભ્રમણને રજૂ કરતો કવોન્ટમ અંક શોધો. (પૃથ્વીનું દળ =  $6.0 \times 10^{24} \text{ kg}$ )

### વધારાના સ્વાધ્યાય

- 12.11** નીચેના પ્રશ્નોના જવાબ આપો જે તમને થોમસન મોડેલ અને રધરફર્ક મોડેલ વચ્ચેનો તફાવત સમજવામાં સારી મદદ કરશે.
- (a) પાતળા સુવર્ણ વરખ વડે થતા  $\alpha$ -કણોના વિચલન (આવર્તન)ના સરેરાશ કોણ અંગે થોમસન મોડેલનું પૂર્વાનુમાન રધરફર્ક મોડેલના પૂર્વાનુમાન કરતાં, ધણું ઓછું, લગભગ તેટલું જ કે ધણું વધારે છે ?
- (b) પશ્ચાદ્વત્તી (પાછળ તરફનું, Backward) પ્રક્રિયાન (એટલે કે  $90^\circ$  કરતાં મોટા કોણે  $\alpha$ -કણોનું પ્રક્રિયાન)ની સંભાવના અંગે થોમસન મોડેલનું પૂર્વાનુમાન રૂધરફર્ક મોડેલના પૂર્વાનુમાન કરતાં ધણું ઓછું, લગભગ તેટલું જ કે ધણું વધારે છે ?
- (c) પ્રયોગથી એવું જણાય છે કે બીજા પરિબળો અચળ રાખતાં, ઓછી જાડાઈ  $t$  માટે, મધ્યમ (Moderate) કોણે પ્રક્રિયાન પામતા  $\alpha$ -કણોની સંખ્યા,  $t$  ના સમપ્રમાણમાં છે.  $t$  પરની આ સપ્રમાણતા શું સૂચયે છે ?
- (d) પાતળા વરખ દ્વારા  $\alpha$ -કણોના પ્રક્રિયાનના સરેરાશ કોણની ગણતરીમાં એક કરતાં વધુ (Multiple) પ્રક્રિયાન થવાનું અવગણવું કયા મોડેલમાં સંપૂર્ણપણે ખોટું છે ?
- 12.12** હાઇડ્રોજન પરમાણુમાં ઈલેક્ટ્રોન અને પ્રોટોન વચ્ચેનું ગુરુત્વાકર્ષણ, કુલંબ આકર્ષણ કરતાં  $10^{-40} \text{ ગણું}$  નાનું છે. આ હકીકતને જોવાની એક વૈકલ્પિક રીત, ઈલેક્ટ્રોન અને પ્રોટોન ગુરુત્વાકર્ષણથી બંધિત હોત તો હાઇડ્રોજન પરમાણુની પ્રથમ બોહ્ઝર કક્ષાની ત્રિજ્યાનો અંદાજ મેળવવાની છે. તમને તેનો ઉત્તર રસપ્રદ લાગશે.
- 12.13** હાઇડ્રોજન પરમાણુ સ્તર  $n$ થી ( $n - 1$ ) સ્તર પર સંકાંતિ કરે ત્યારે ઉત્સર્જિત વિકિરણની આવૃત્તિ માટેનું સૂત્ર મેળવો.  $n$  ના મોટા મૂલ્ય માટે, દર્શાવો કે આ આવૃત્તિ, કક્ષામાં ઈલેક્ટ્રોનના ભ્રમણની પ્રયત્નિત આવૃત્તિ બરાબર છે.